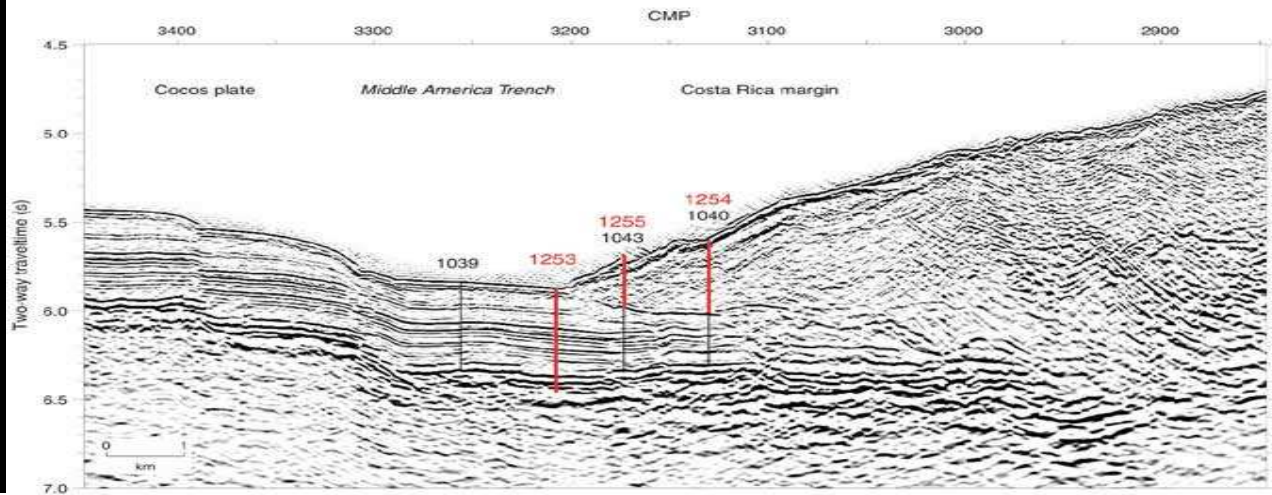
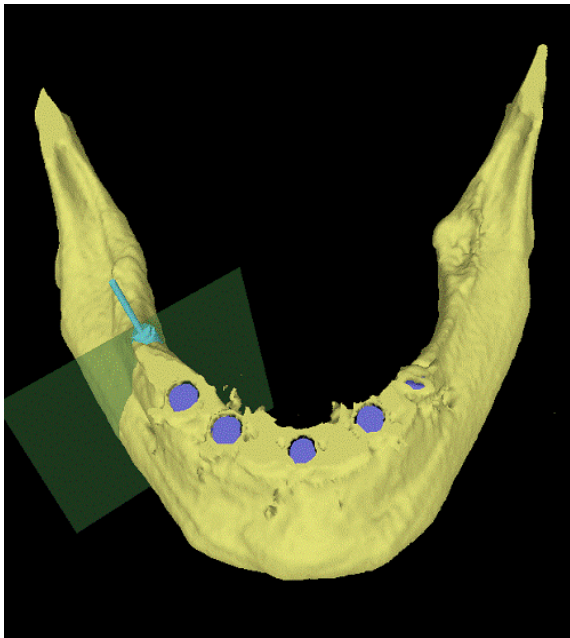
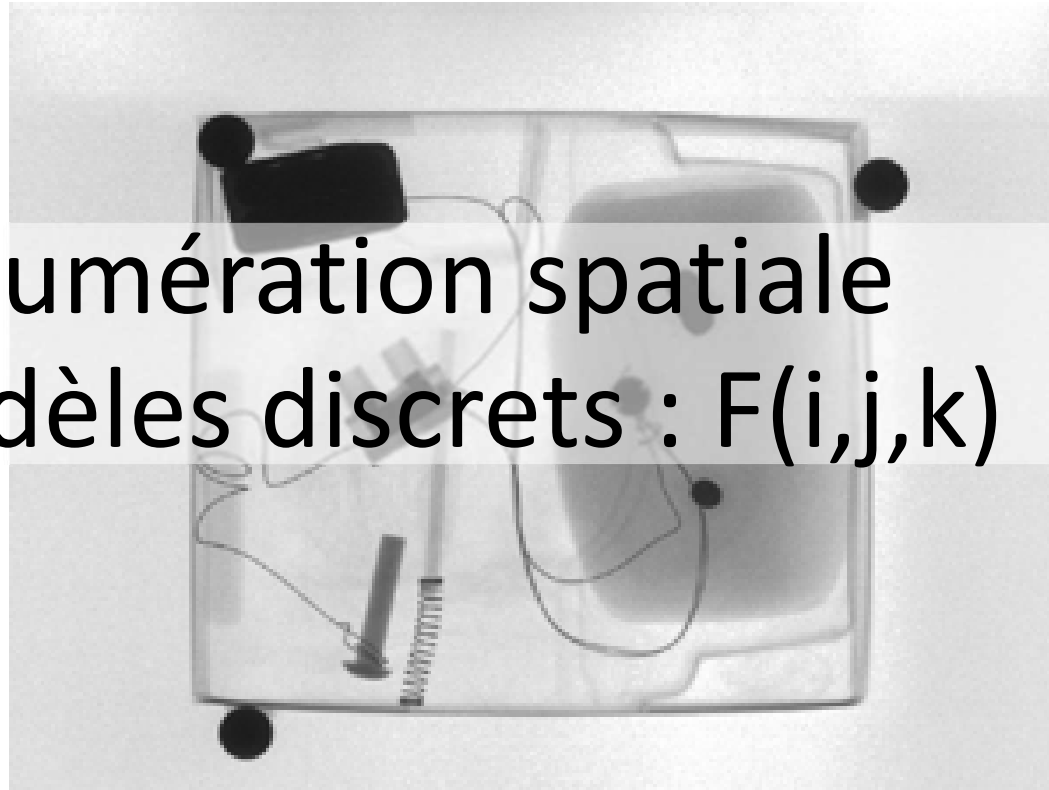
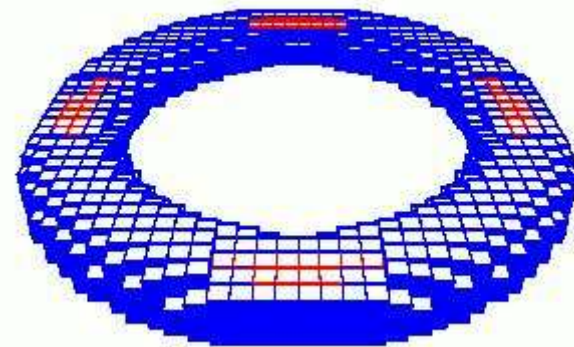
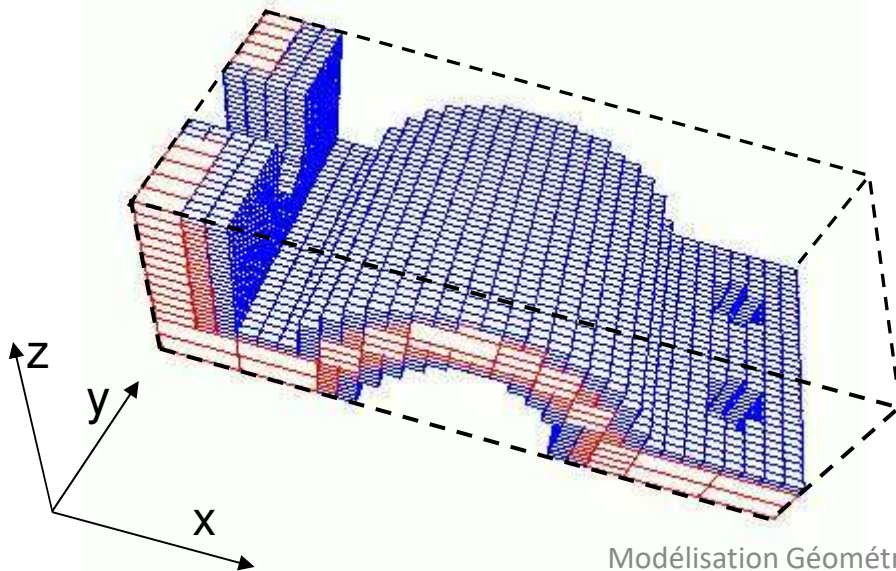
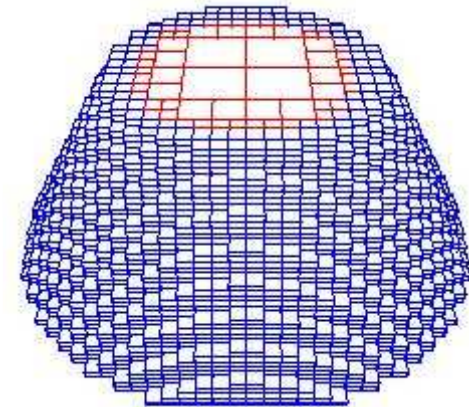


# L'énumération spatiale ou modèles discrets : $F(i,j,k)$



# Les modèles d'énumération

1. La grille (l'image), le voxet
2. Le quadtree, l'octree
3. Le polytree (MC)

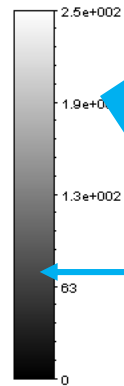
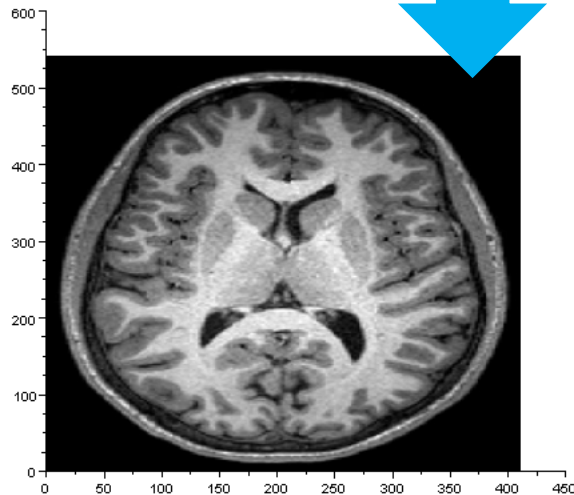




# «Reconstruction» géométrique

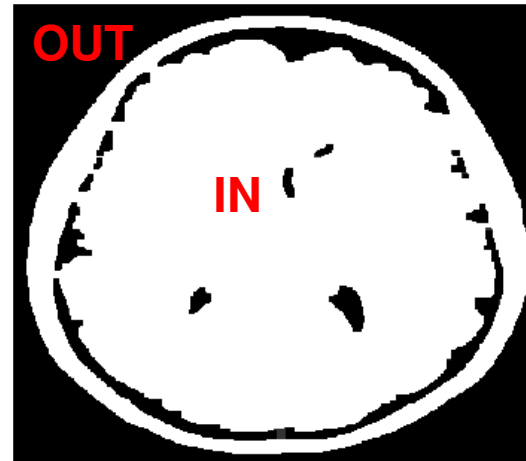


Acquisition



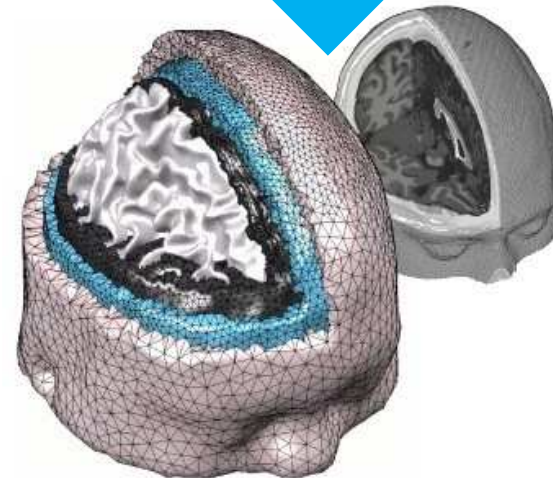
Seuillage

seuil

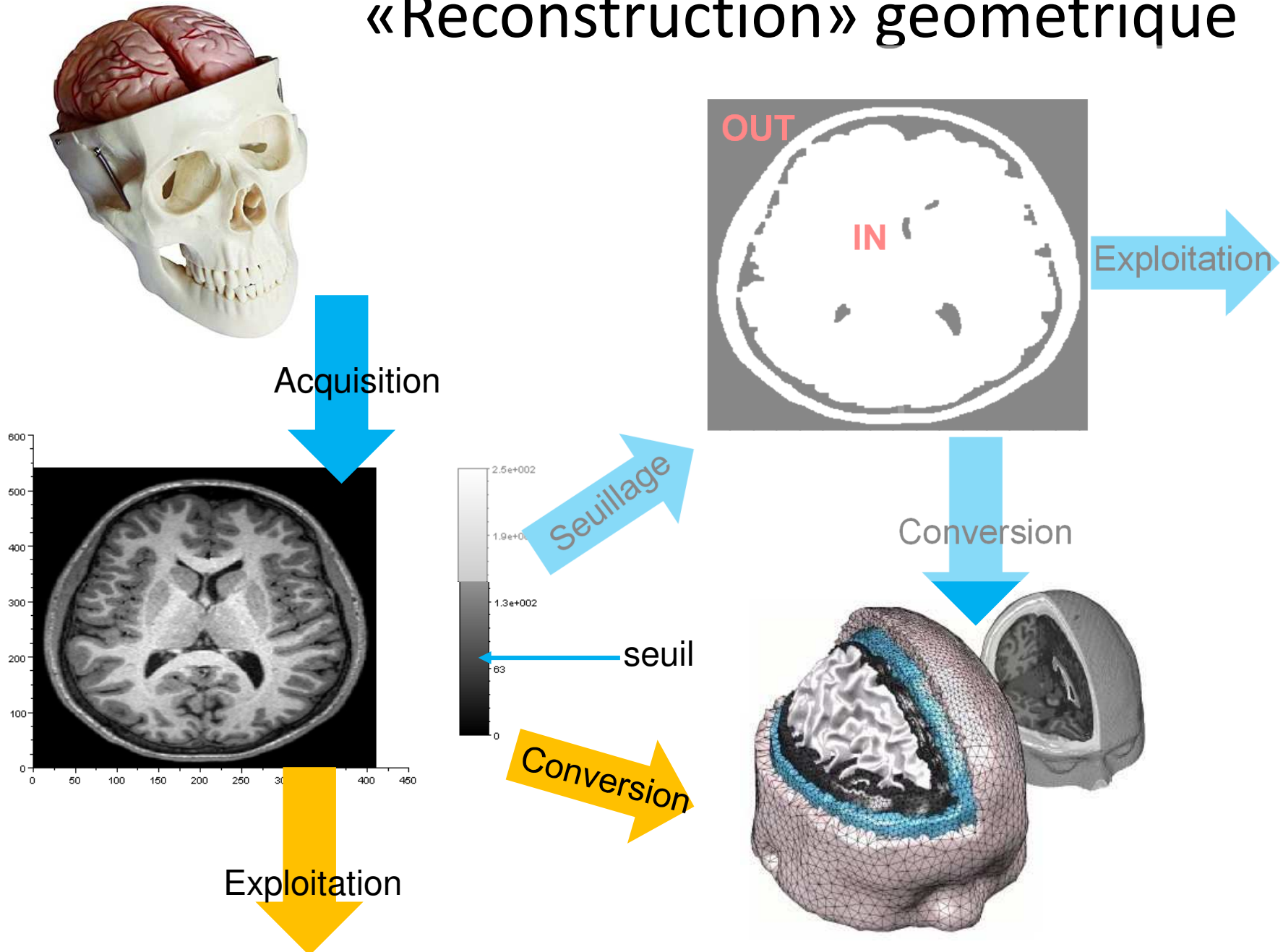


Exploitation

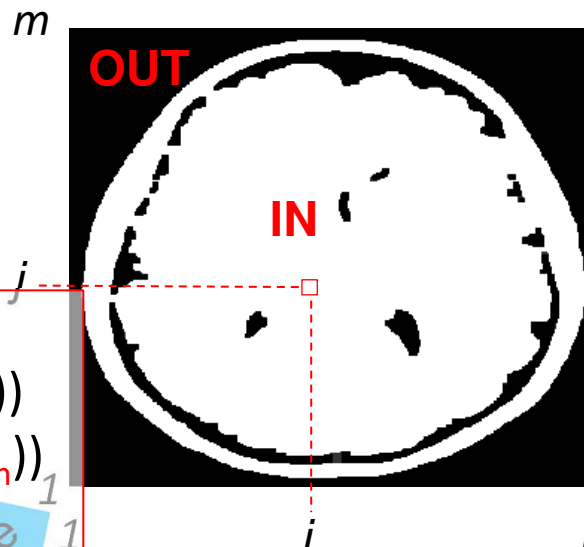
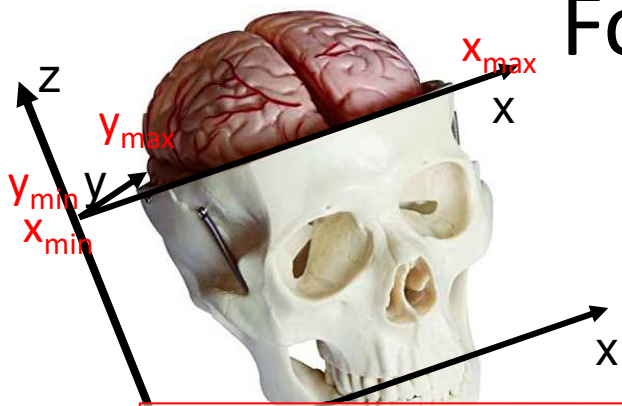
Conversion



# «Reconstruction» géométrique



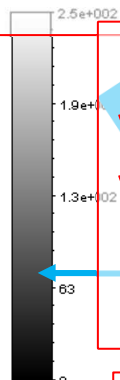
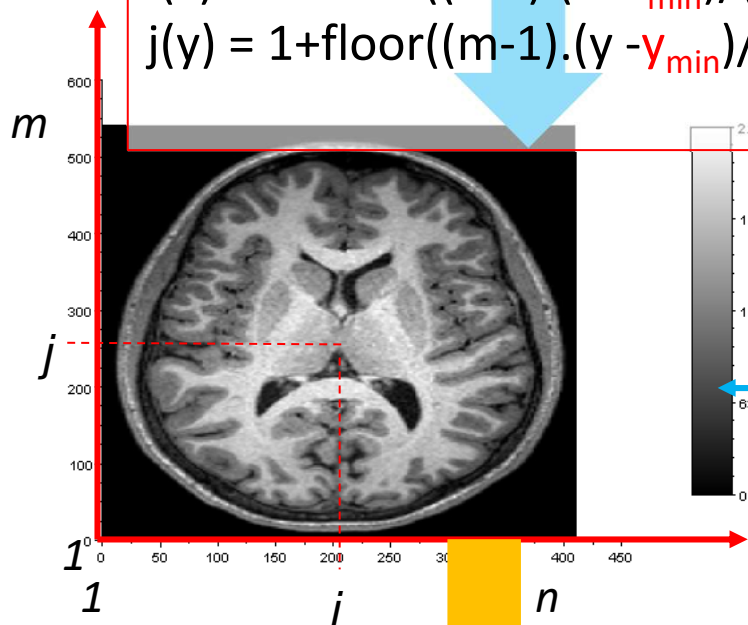
# Fonctions de mapping: $x,y \rightarrow i,j$



$$\text{image}[i,j] = \text{acquisition}(x,y)$$

$$i(x) = 1 + \text{floor}((n-1) \cdot (x - X_{\min}) / (X_{\max} - X_{\min}))$$

$$j(y) = 1 + \text{floor}((m-1) \cdot (y - Y_{\min}) / (Y_{\max} - Y_{\min}))$$



Normalisation :  $[v_{\min}, v_{\max}] \rightarrow [0,1]$

$$v_{\min} = \text{MIN}(\text{image}[i,j]);$$

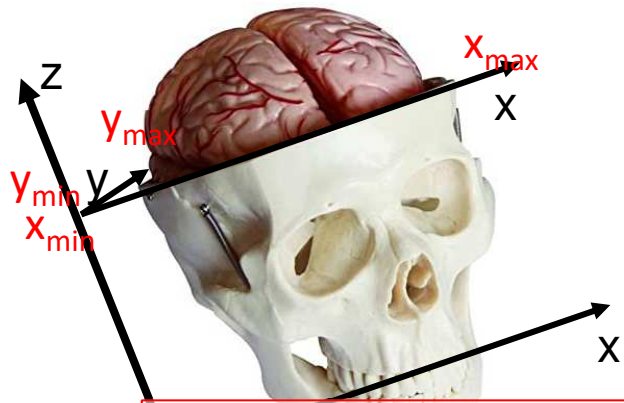
$$v_{\max} = \text{MAX}(\text{image}[i,j])$$

$$\text{imageN}[i,j] = (\text{image}[i,j] - v_{\min}) / (v_{\max} - v_{\min})$$

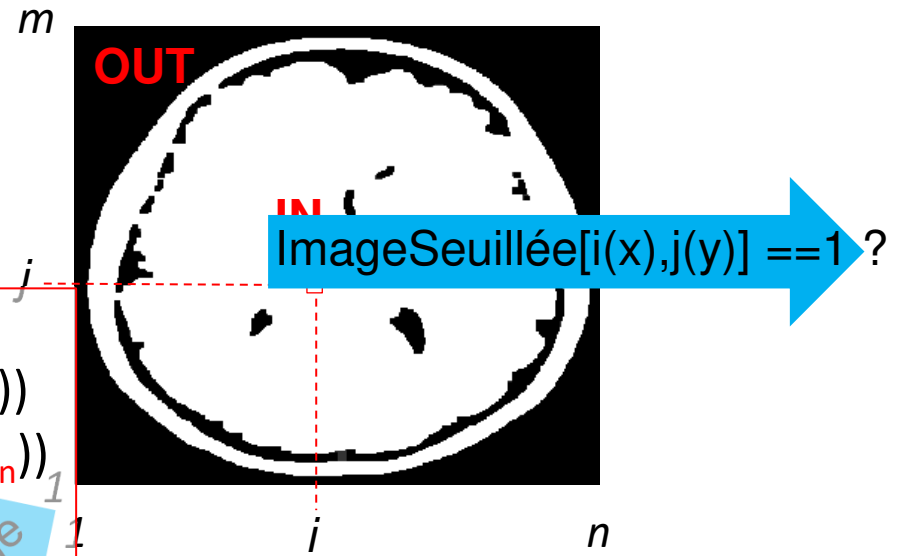
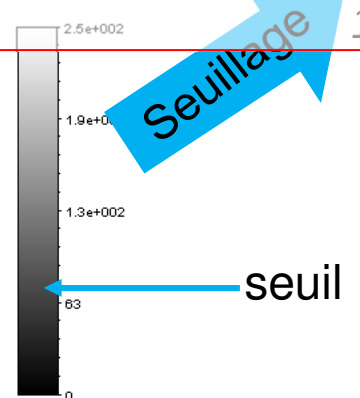
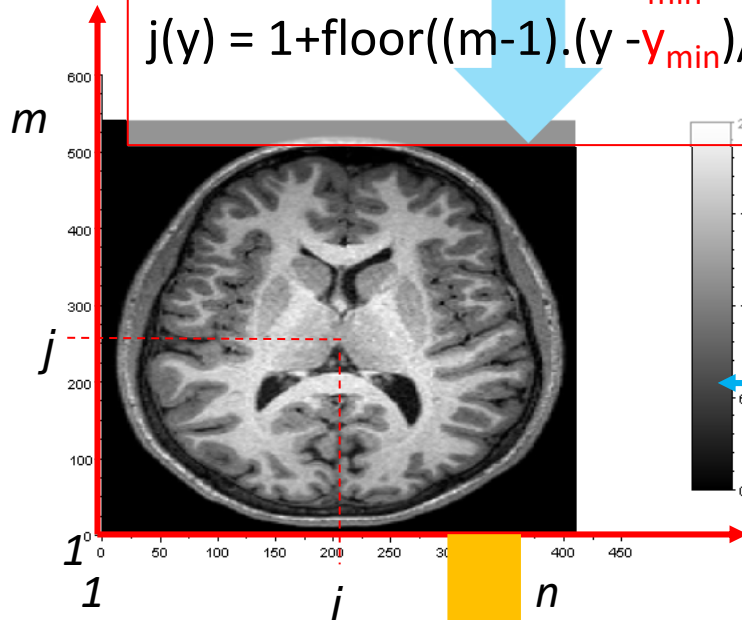
Seuillage :  $[0.,1.] \rightarrow \{0,1\}$  ou  $\{\text{FAUX}, \text{VRAI}\}$

$$\text{imageSeuillée}[i,j] = \text{floor}(1 + \text{imageN}[i,j] - \text{seuil})$$

# PointDans(x,y) ?



$image[i,j] = acquisition(x,y)$   
 $i(x) = 1 + \text{floor}((n-1) \cdot (x - X_{min}) / (X_{max} - X_{min}))$   
 $j(y) = 1 + \text{floor}((m-1) \cdot (y - Y_{min}) / (Y_{max} - Y_{min}))$

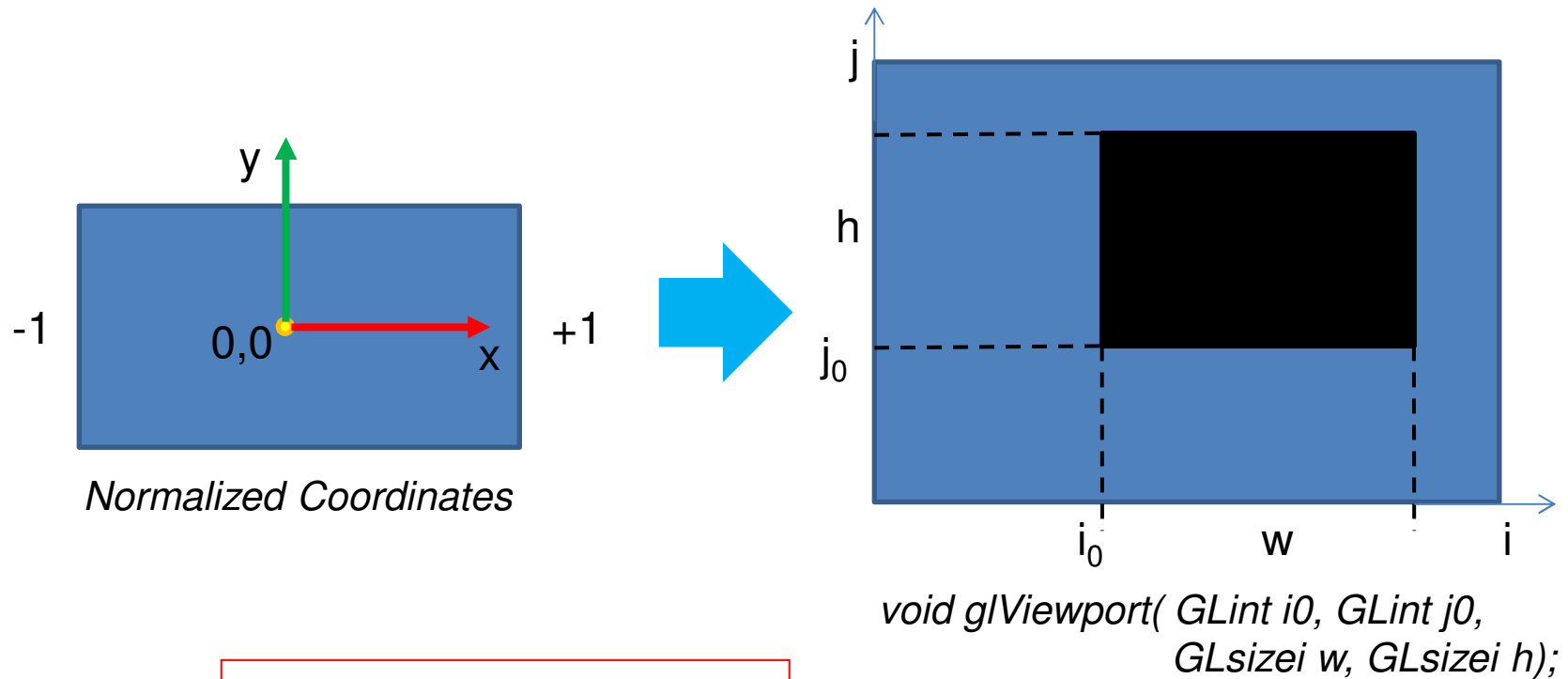


$Image[i(x),j(y)] \geq \text{seuil} ?$

Seuillage

# Exercice : OpenGL glviewport

- Ecrire la transformation de l'espace normalisé (d'OpenGL) vers la fenêtre (viewport) défini par  $(i_0, j_0, w, h)$

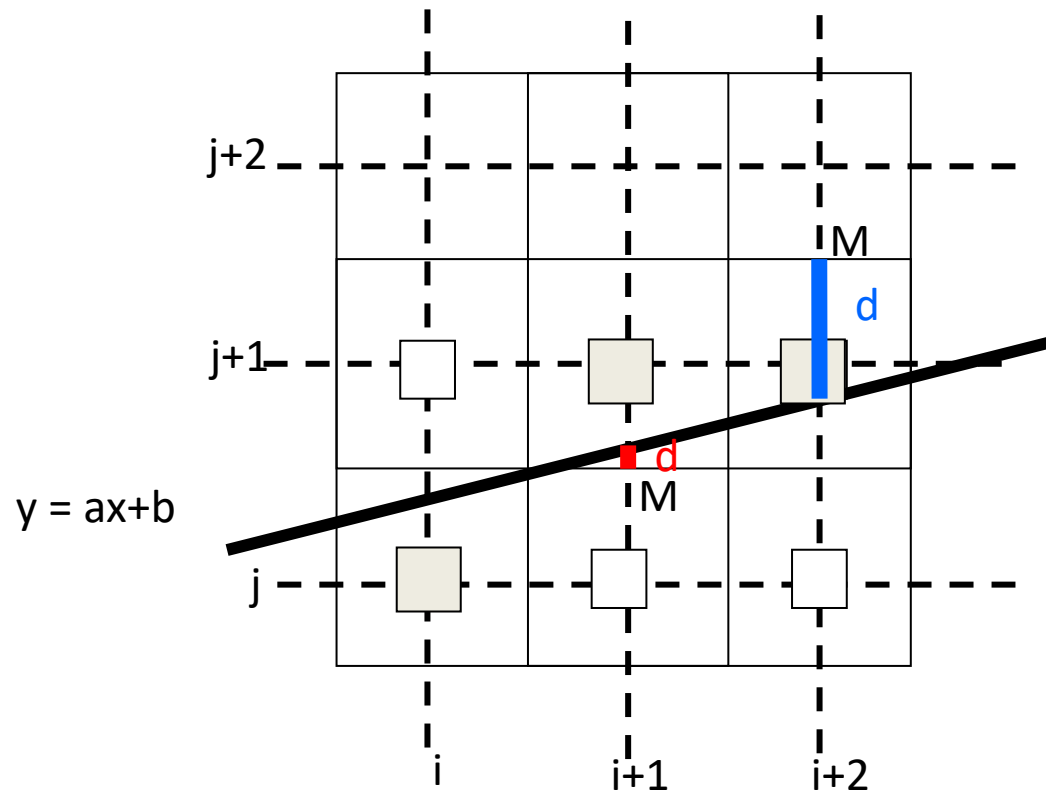


$$i(x) = \dots$$
$$j(y) = \dots$$



# Tracé d'un segment

(Mid-point Algorithm)



Cas :  $0 < a < 1$

```

WritePixel(i0,j0)
d=(a*(i0+1)+b)-(j0+1/2)
For(i=i0+1;i<=i1;i++){
    Si (d<0) d=d+a
    Sinon      j=j+1
              d=d+a-1
    WritePixel(i,j)
}
    
```

# Calculs & opérations sur les grilles

## **Algorithmes simples**

- Localisation « PointDans() ? »
- Calcul de l'aire ?
- Opérations booléennes ?

# Calculs & opérations sur les grilles

## Algorithmes simples

- Localisation « PointDans() ? »
- Calcul de l'aire
- Opérations booléennes :  
simple quand les 2  
géométries sont dans le  
même espace (même  
extension, même  
« précision »).

# Calculs & opérations sur les grilles

## Algorithmes simples

- Localisation « PointDans() ? »
- Calcul de l'aire
- Opérations booléennes : simple quand les 2 géométries sont dans le même espace (même extension, même « précision »).

## Opérations non conservatives

- Certaines opérations ne conservent pas les caractéristiques de forme de la géométrie :
- Changement d'échelle (taille des cellules)
  - Rotations

# Topologie et voisinage dans des espaces discrets

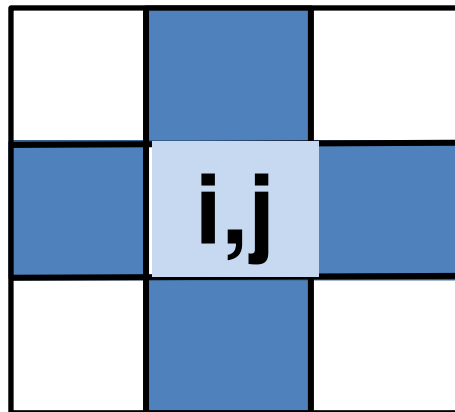
*Intérieur* :  $C(i,j)$  intérieur à  $X$  si son **voisinage** strictement inclus dans  $X$

*Adhérence* :  $C(i,j)$  adhérent à  $X$  si son **voisinage** intersecte  $X$

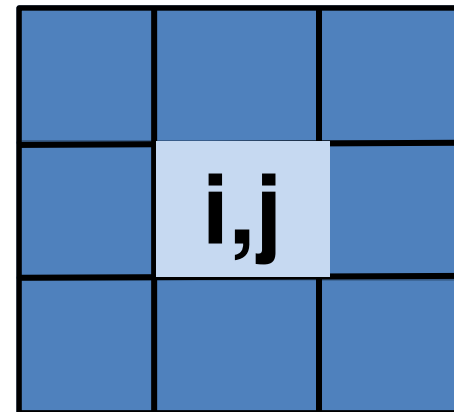
*Frontière* :  $C(i,j)$  appartient à la frontière de  $X$

ssi  $C(i,j)$  dans  $X$  et son **voisinage** intersecte  $C_E(X)$

**Voisinage 4 connexité**



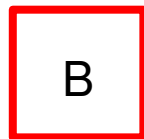
**Voisinage 8 connexité**



ATTENTION : Dans  $\neq$  intérieur

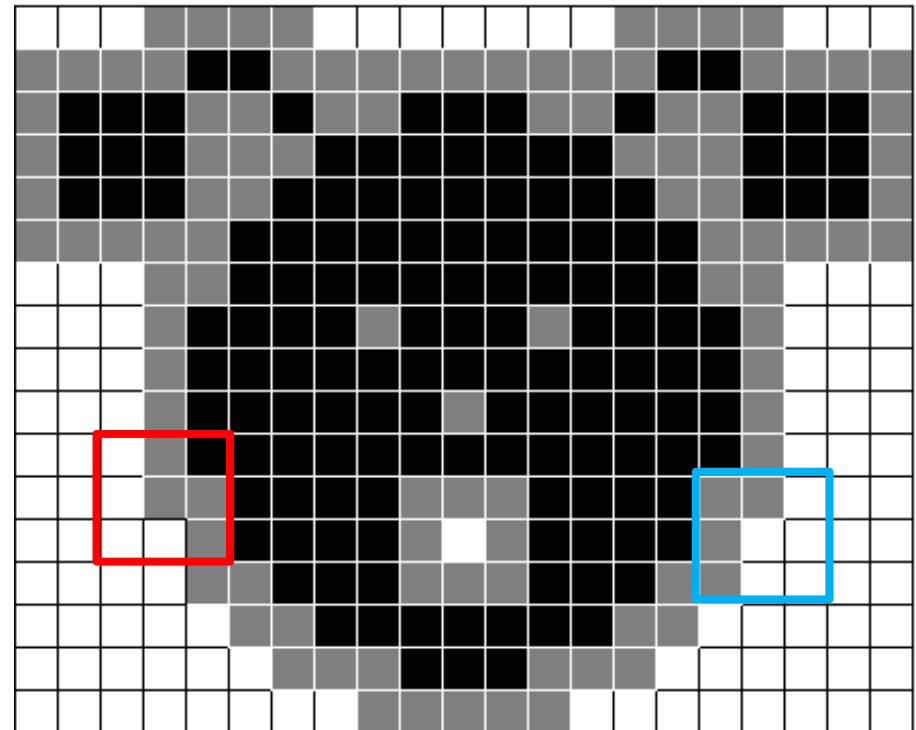
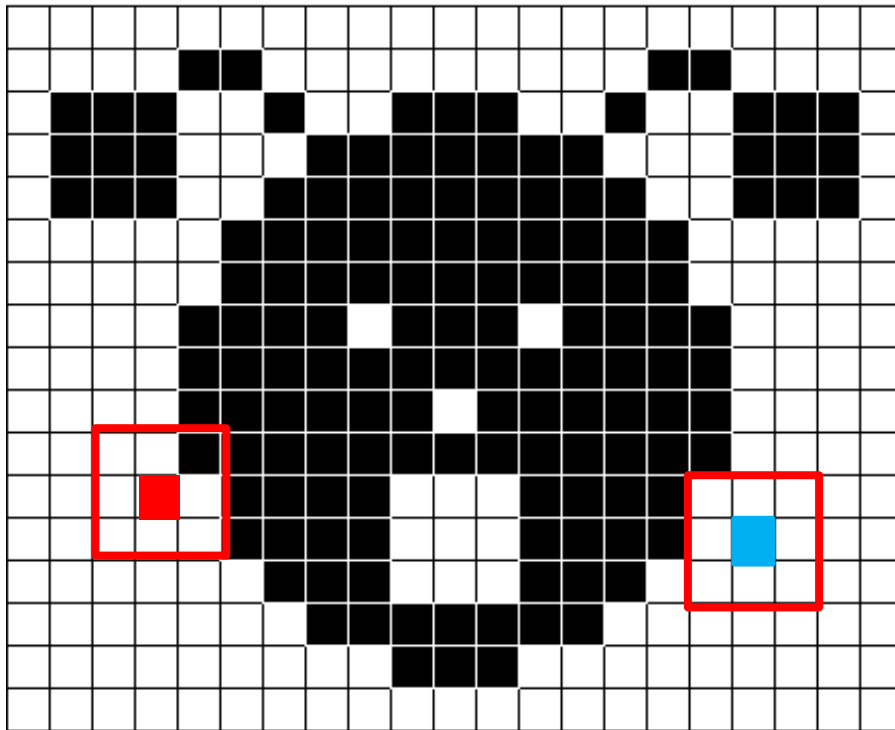
# Dilatation $\delta_B(X)$

La dilatation morphologique de  $X$  avec un élément structurant  $B$  est définie comme la somme de Minkowski avec cet élément



$$\delta_B(X) = X \oplus B$$

$$\delta_B(X) = \{x \mid \check{B}_x \cap X \neq \emptyset\}$$

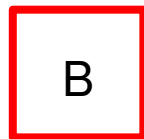


(from wikipedia)

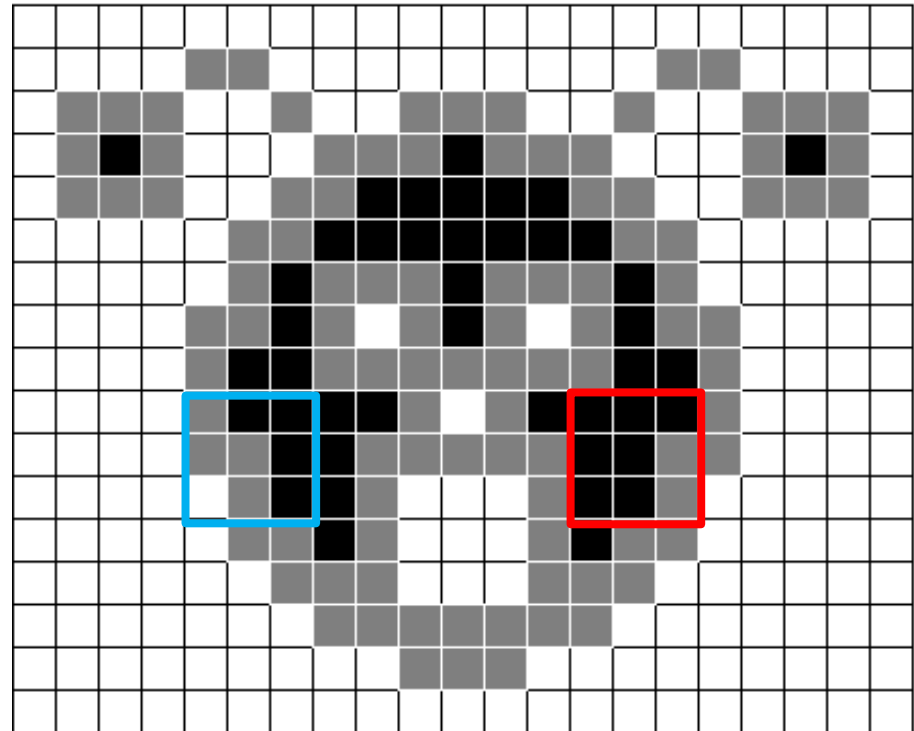
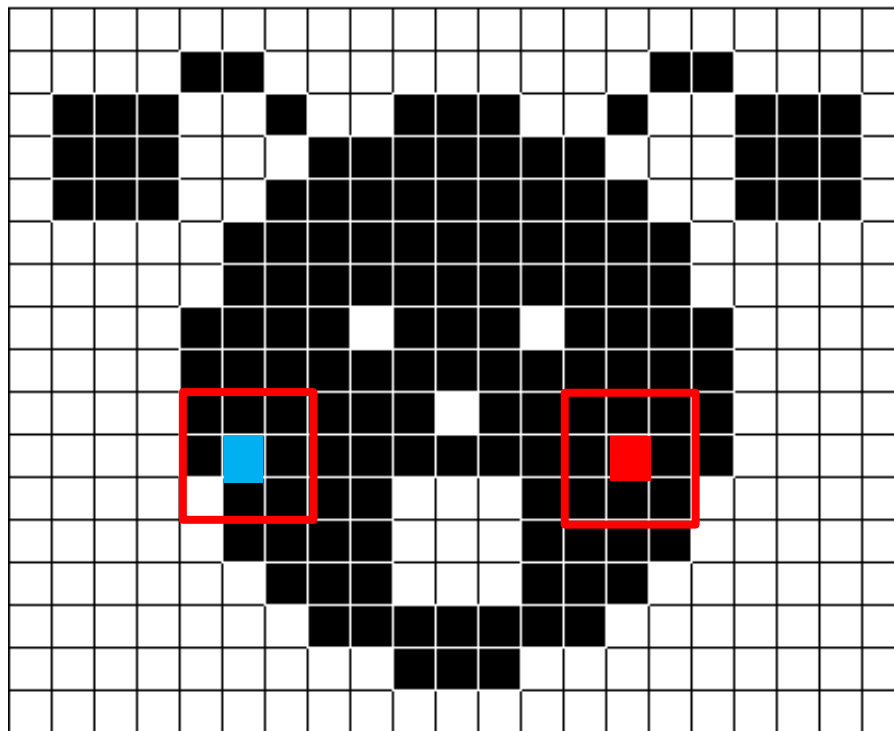
Sur cet exemple  $c$ 'est aussi l'Adhérence pour le 8-voisinage

# Erosion $\epsilon_B(X)$

L'érosion morphologique avec un élément structurant B est définie comme l'ensemble des points de X qui contiennent B.



$$\epsilon_B(X) = X \ominus B = \{x \mid B_x \subset X\}$$



(from wikipedia)

Sur cet exemple c'est aussi l'Intérieur pour le 8-voisinage

# Morphologie mathématique

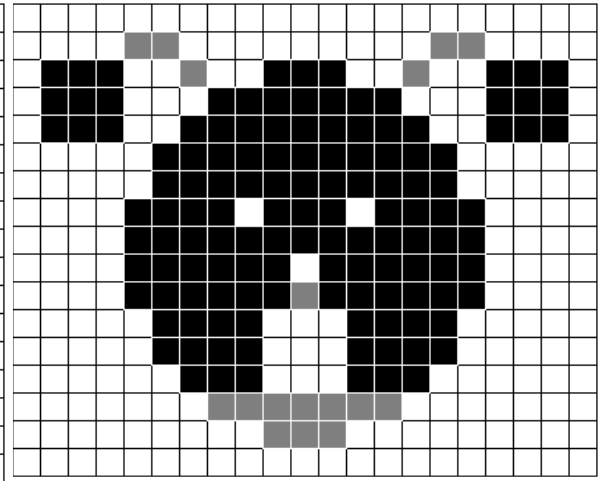
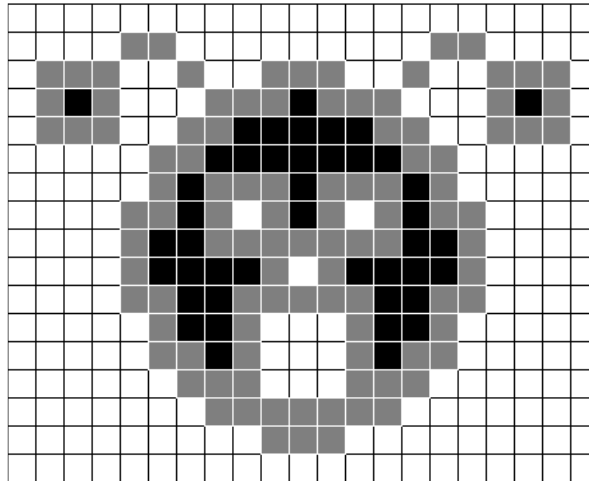
## Filtres morphologique

- ouverture

$$\delta_B(\varepsilon_B(X))$$

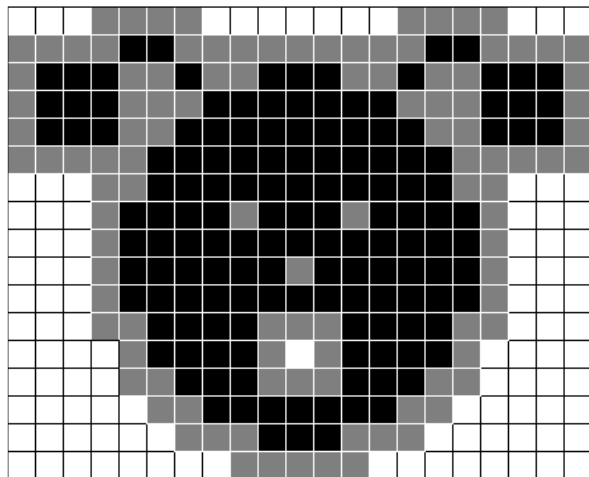
*érosion*

*dilatation*

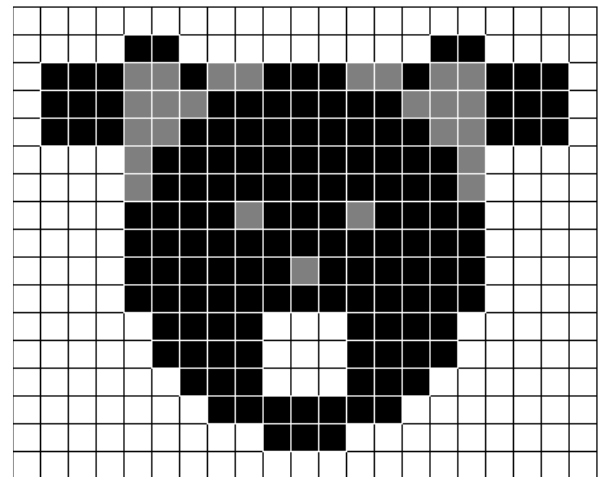


- fermeture

$$\varepsilon_B(\delta_B(X))$$



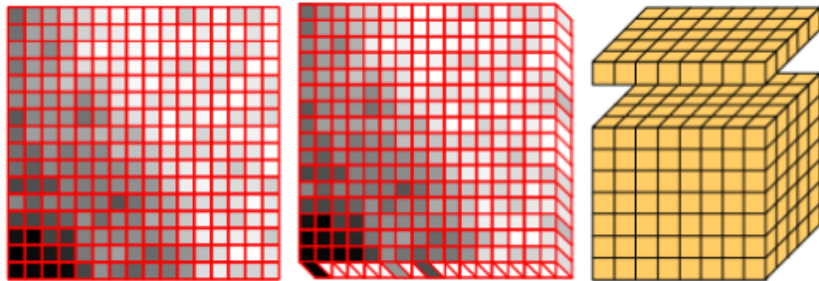
*dilatation*



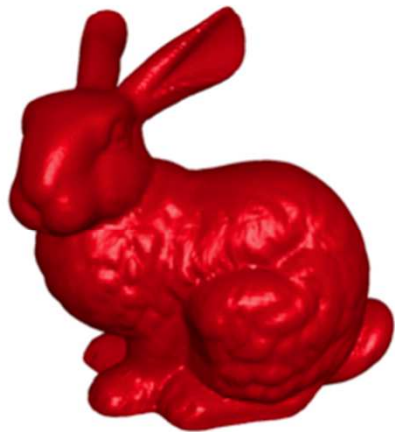
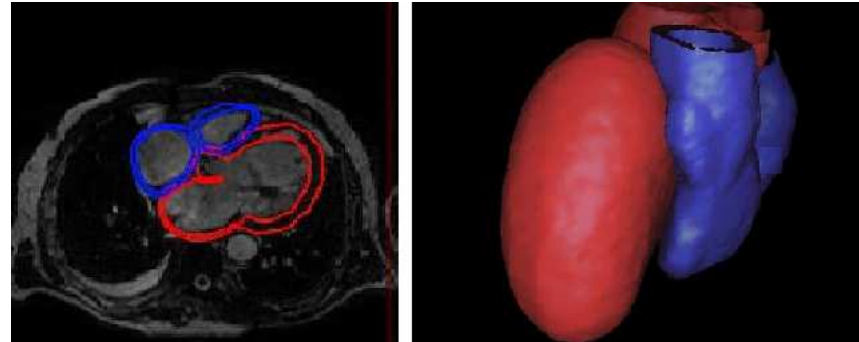
*érosion*

# « Grilles 3D » : voxelisation

Acquisition d'une série d'images

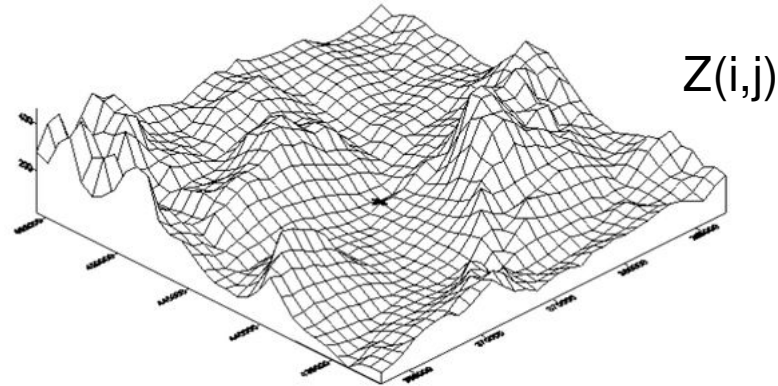


Extraction et visualisation



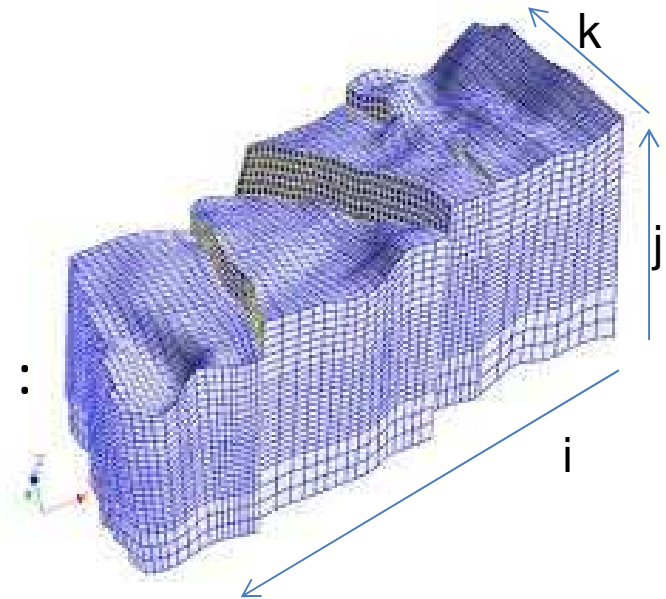
# Exemples en Géosciences

- MNT (DEM)

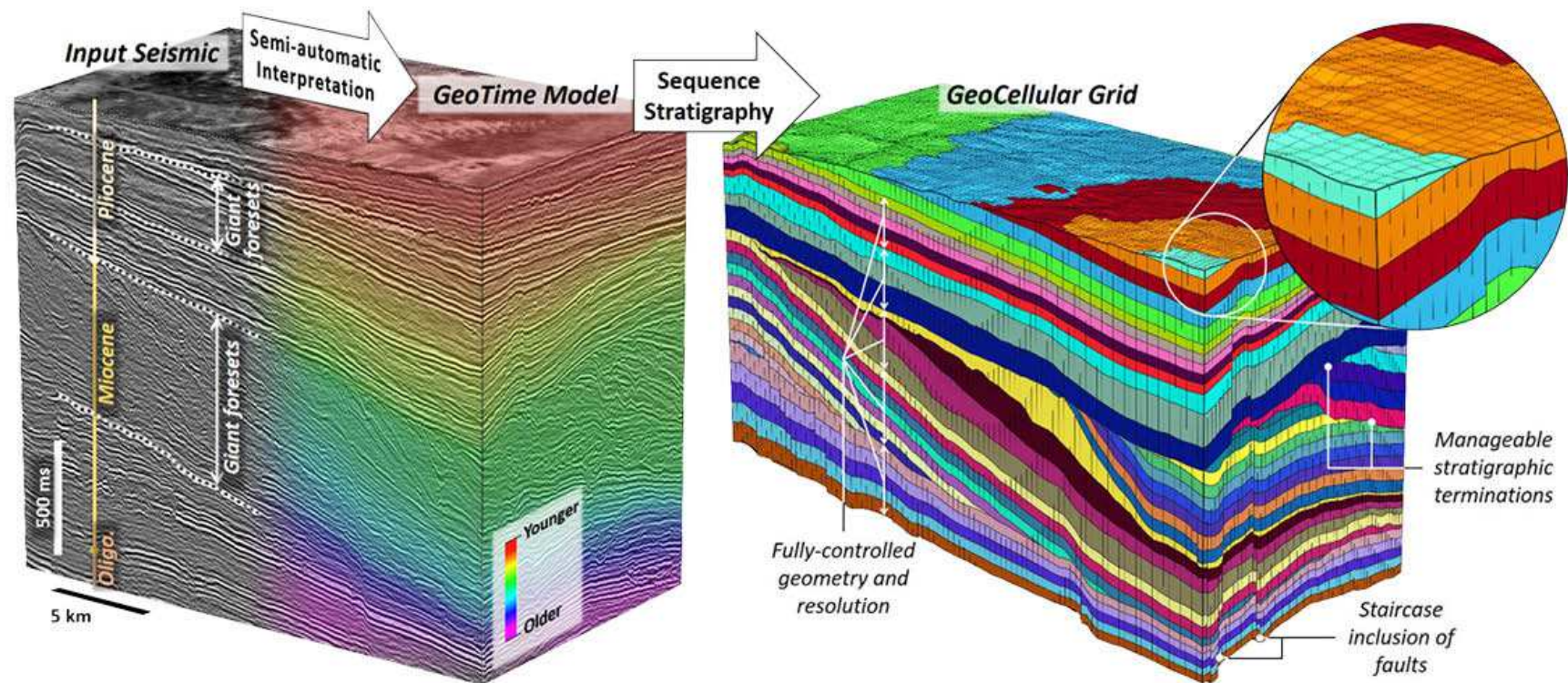


- Grilles stratigraphiques :

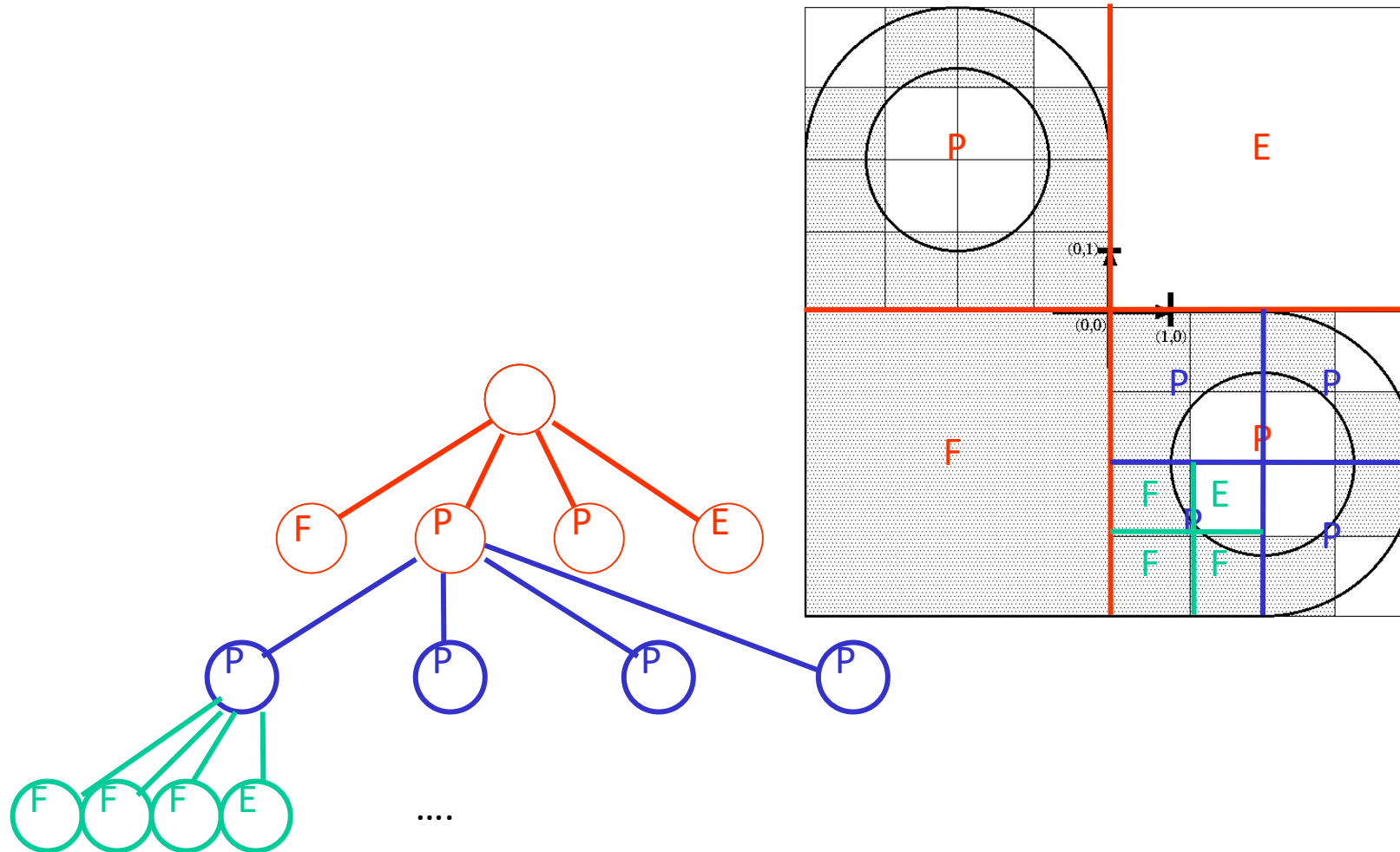
- Déformations / Dicontinuité :  
mapping complexe,
- $GS(i,j,k)$  = propriétés de la roche :  
perméabilité, porosité...
- Couches incomplètes : nodata



# Exemple en géosciences



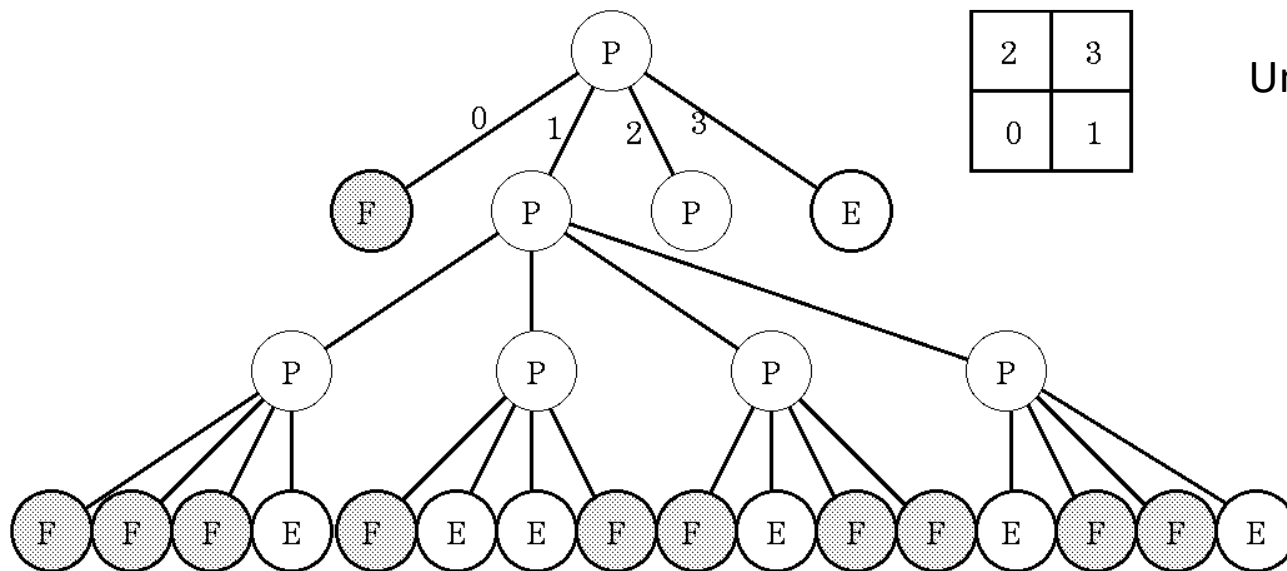
## 2. Le Quadtree (Principe)



# Représentation informatique

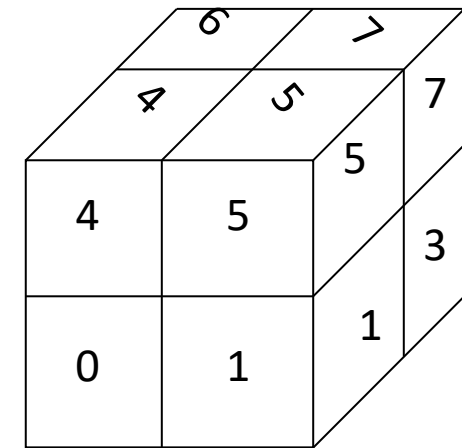
D : dimension de l'espace

## Quadtree (D=2), Octree (D=3), Polytree



2	3
0	1

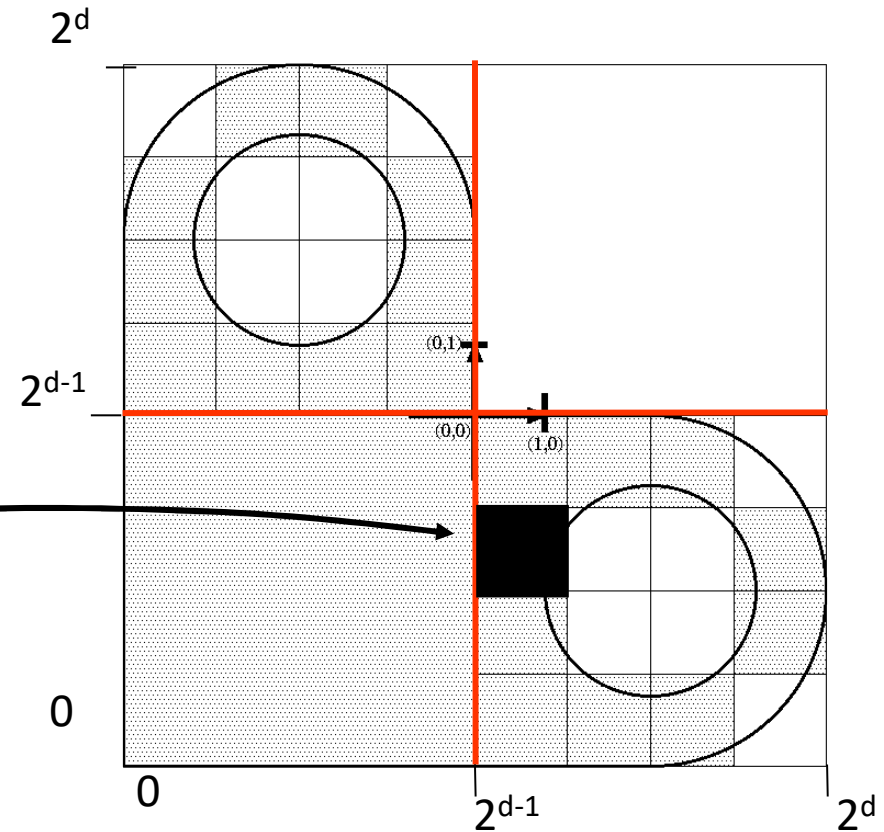
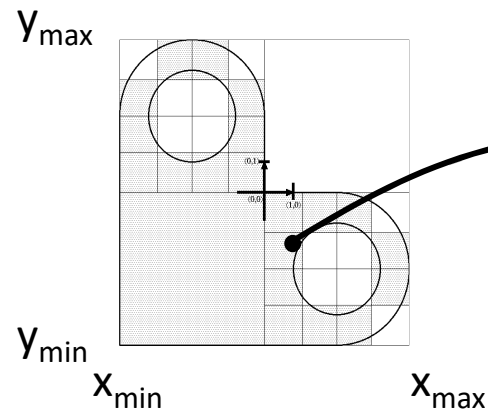
Un arbre : à  $2^D$  branches



# Quadtree : profondeur & codage

Soit  $d$  la profondeur de l'arbre

$$i = \text{floor}(2^d \cdot (x - x_{\min}) / (x_{\max} - x_{\min}))$$
$$j = \text{floor}(2^d \cdot (y - y_{\min}) / (y_{\max} - y_{\min}))$$



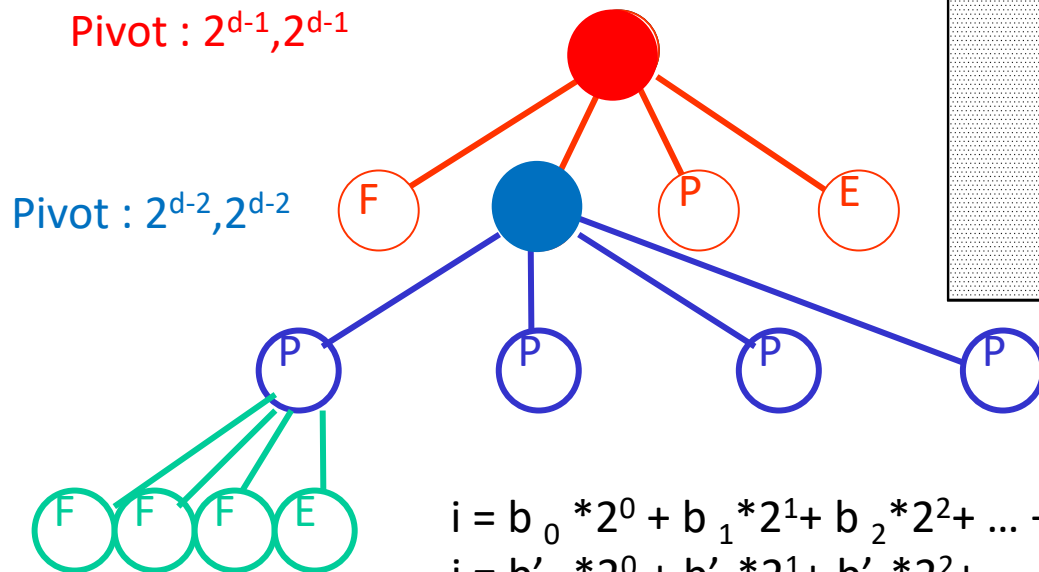
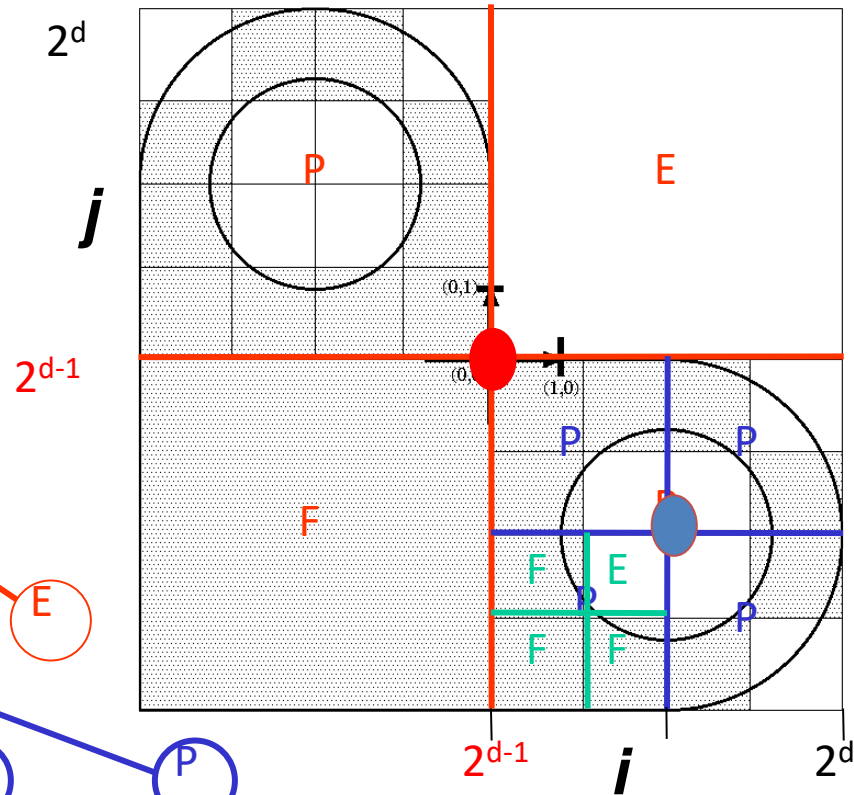
Codage :  $i$  ou  $j = b_0 * 2^0 + b_1 * 2^1 + b_2 * 2^2 + \dots + b_{d-1} * 2^{d-1}$

avec  $b_k = 1$  ou  $0$

# points dans Quadtree

bit<sub>i</sub>(j,i)

10	11
00	01

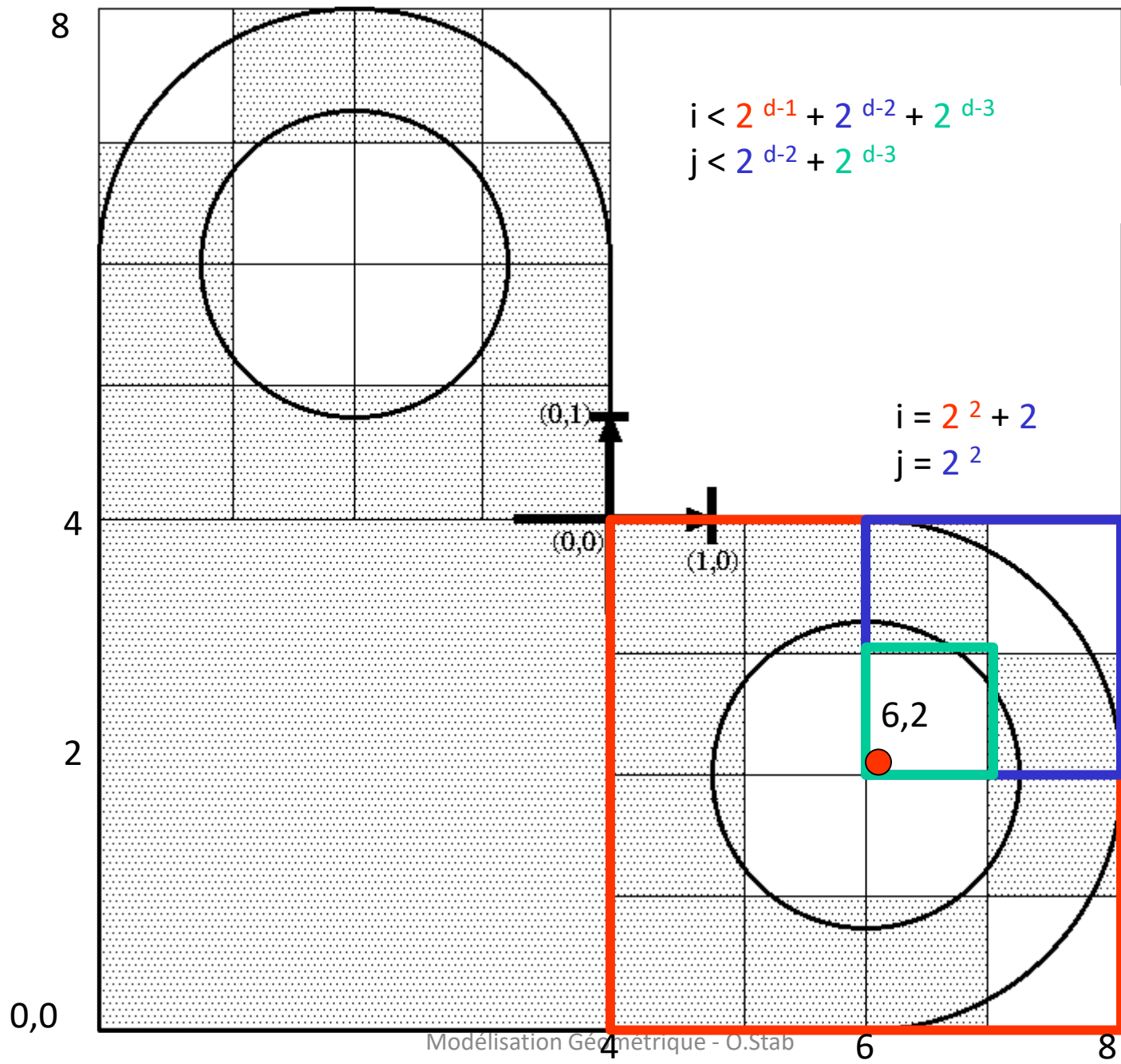


$$i = b_0 * 2^0 + b_1 * 2^1 + b_2 * 2^2 + \dots + b_{d-2} * 2^{d-2} + b_{d-1} * 2^{d-1}$$

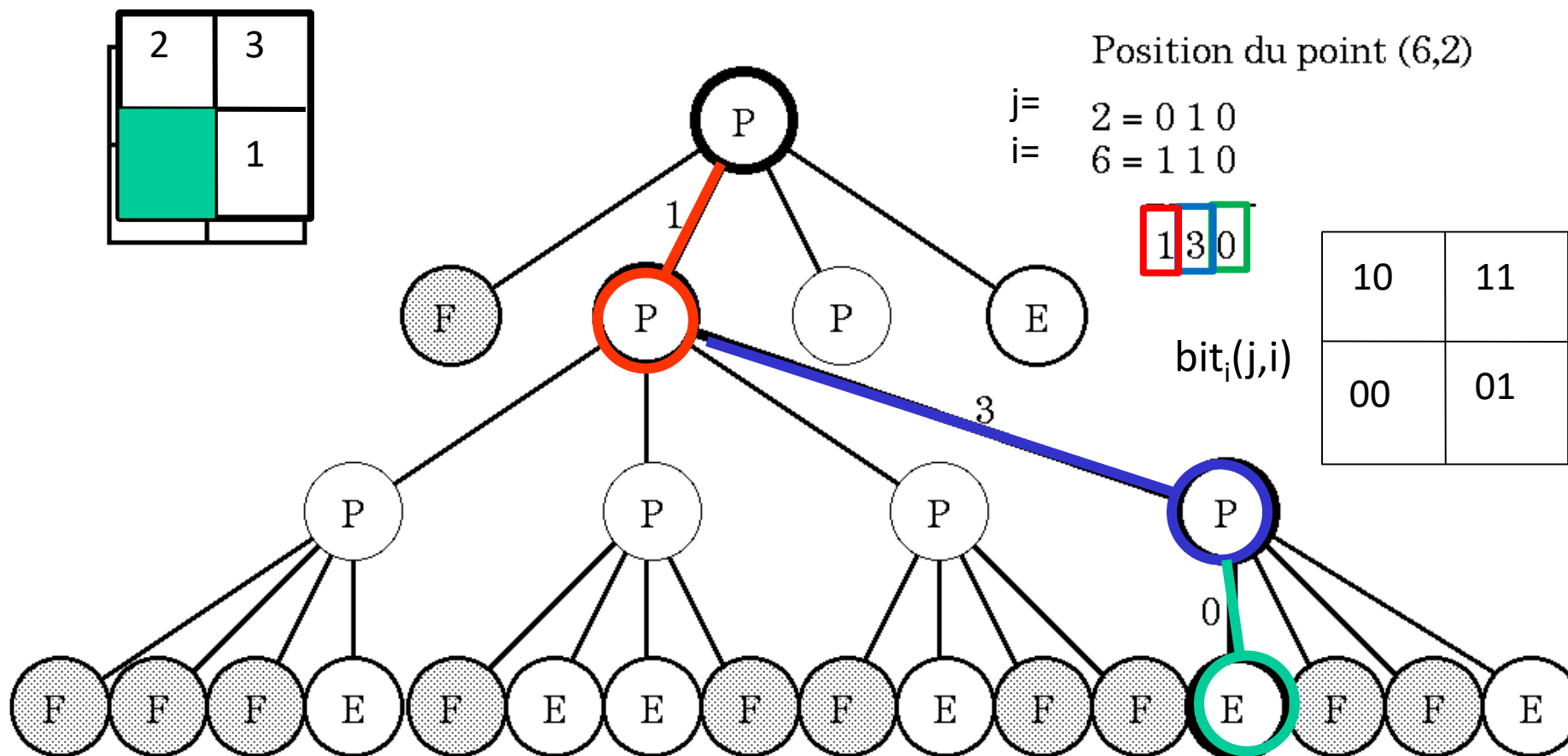
$$j = b'_0 * 2^0 + b'_1 * 2^1 + b'_2 * 2^2 + \dots + b'_{d-2} * 2^{d-2} + b'_{d-1} * 2^{d-1}$$

avec  $b_k = 1$  ou  $0$

d = 3



# Localisation d'un point



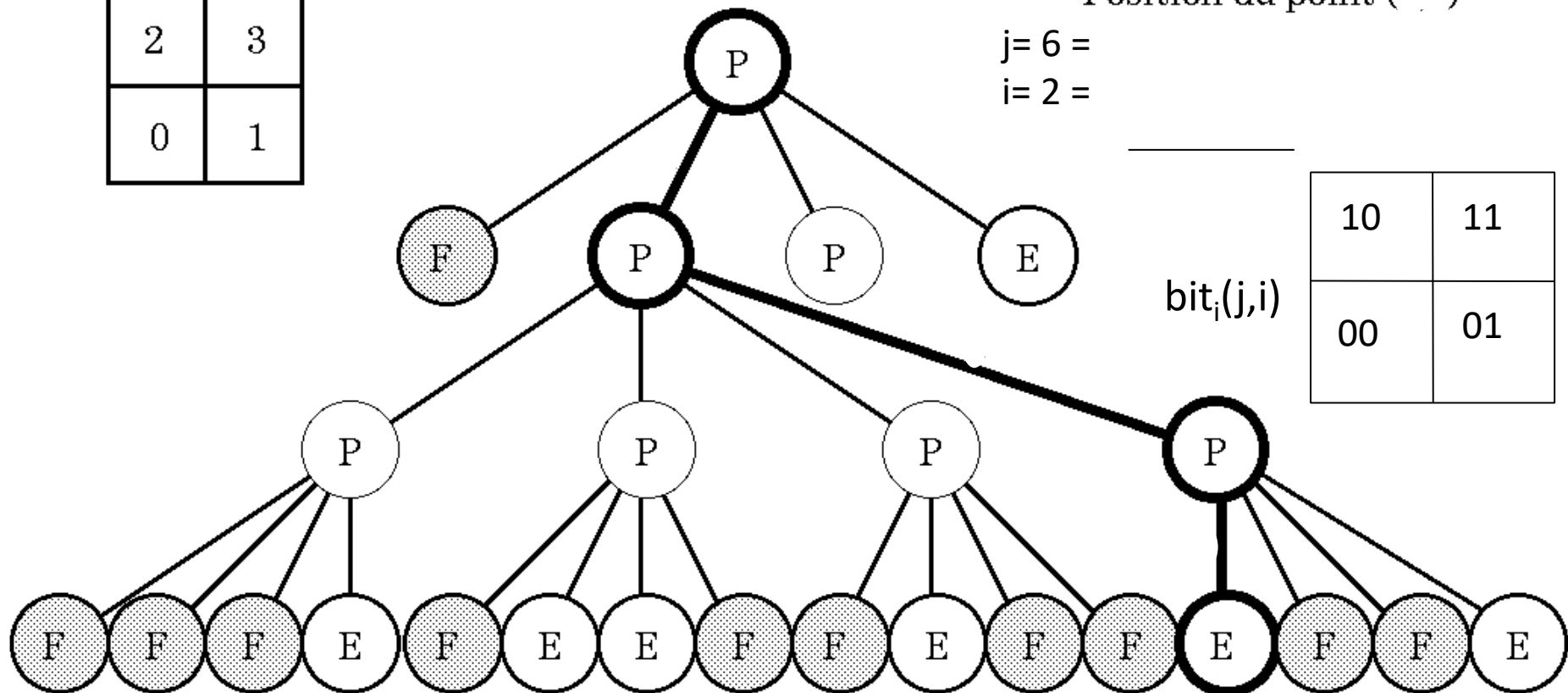
# Localisation d'un point exercice 1:

2	3
0	1

Position du point  $(2,6)$

$j = 6 =$

$i = 2 =$



$\text{bit}_i(j,i)$

10	11
00	01

# Localisation d'un point exercice 2:

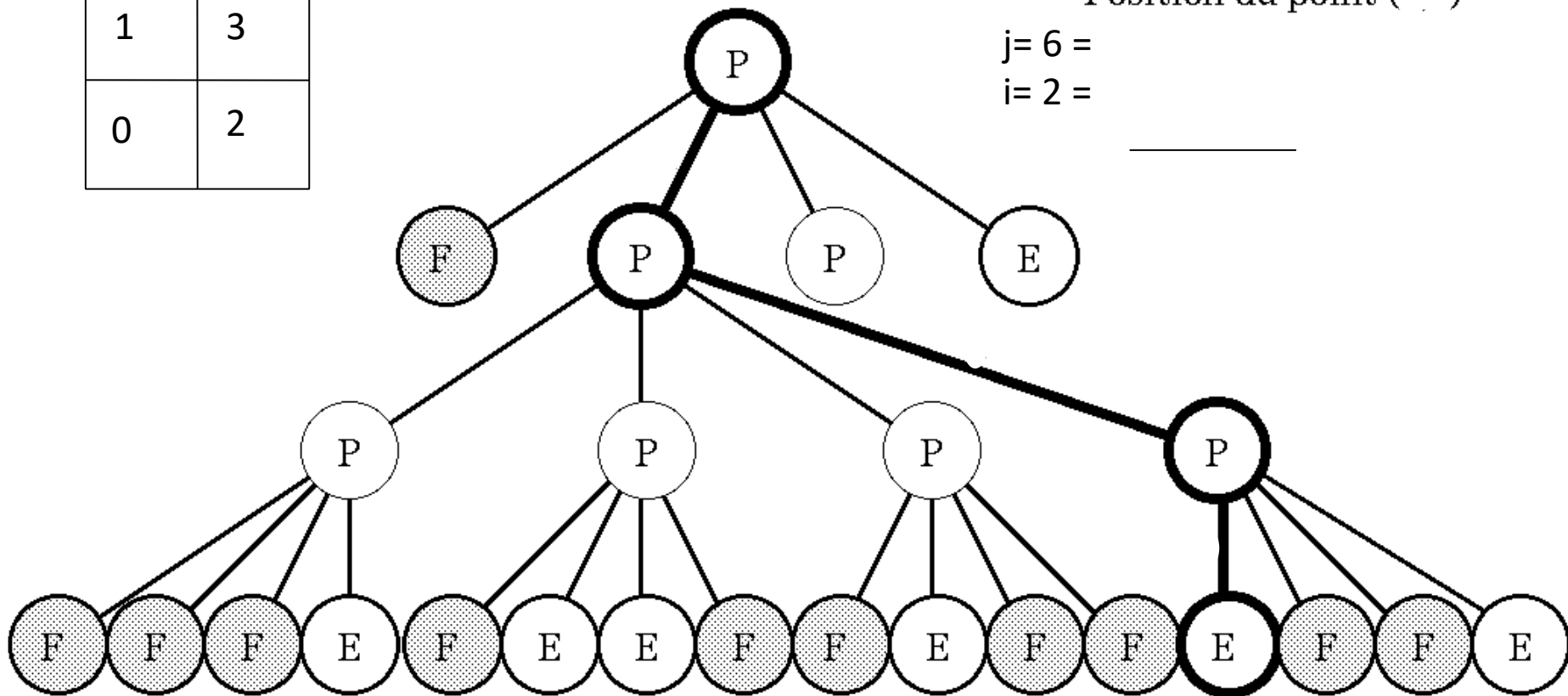
1	3
0	2

Position du point (2,6)

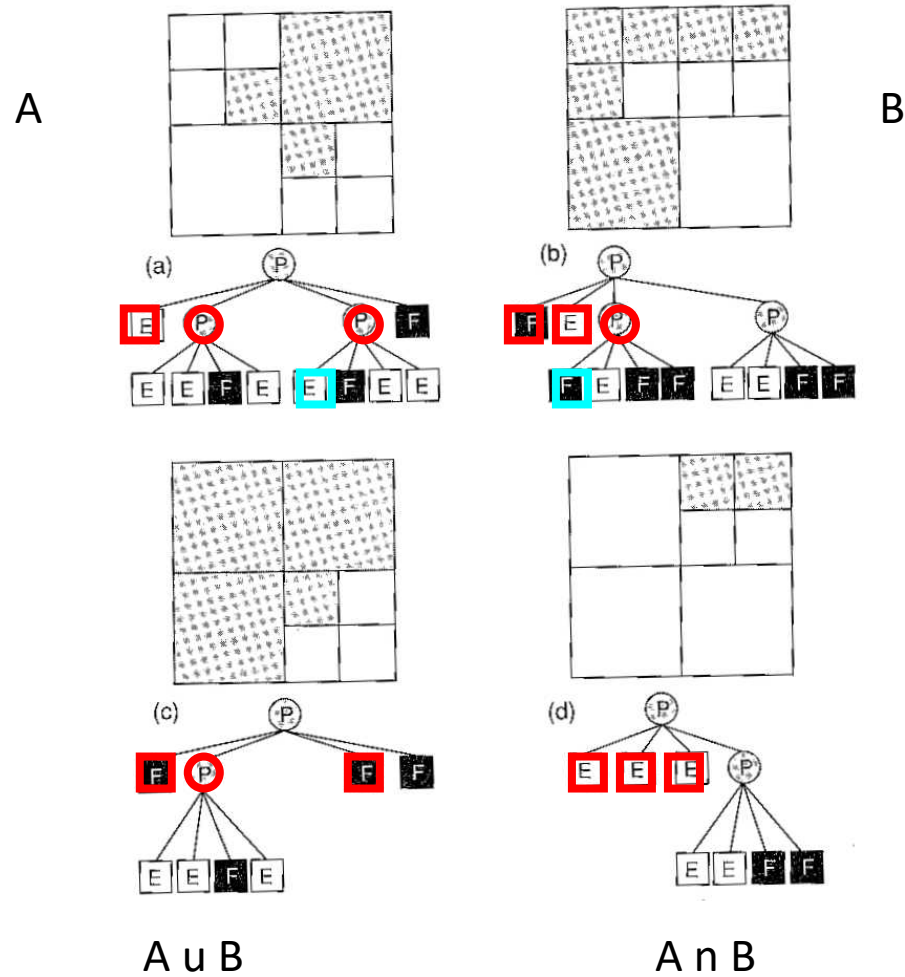
$j = 6 =$

$i = 2 =$

\_\_\_\_\_

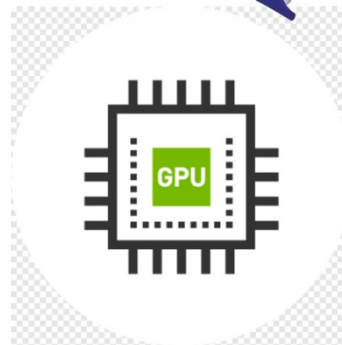
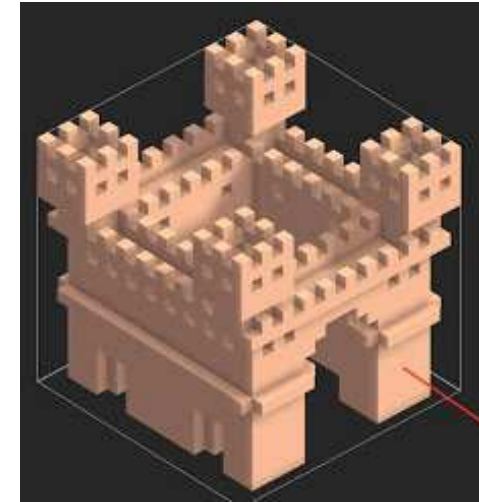
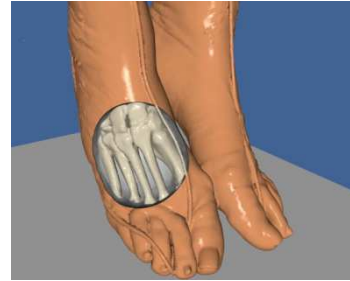
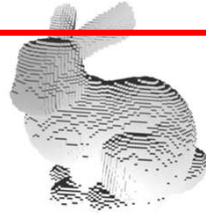


# Opérations booléennes



# Propriétés du modèle

- Domaine
- Complétude
- Unicité
- Manipulation
- Performances

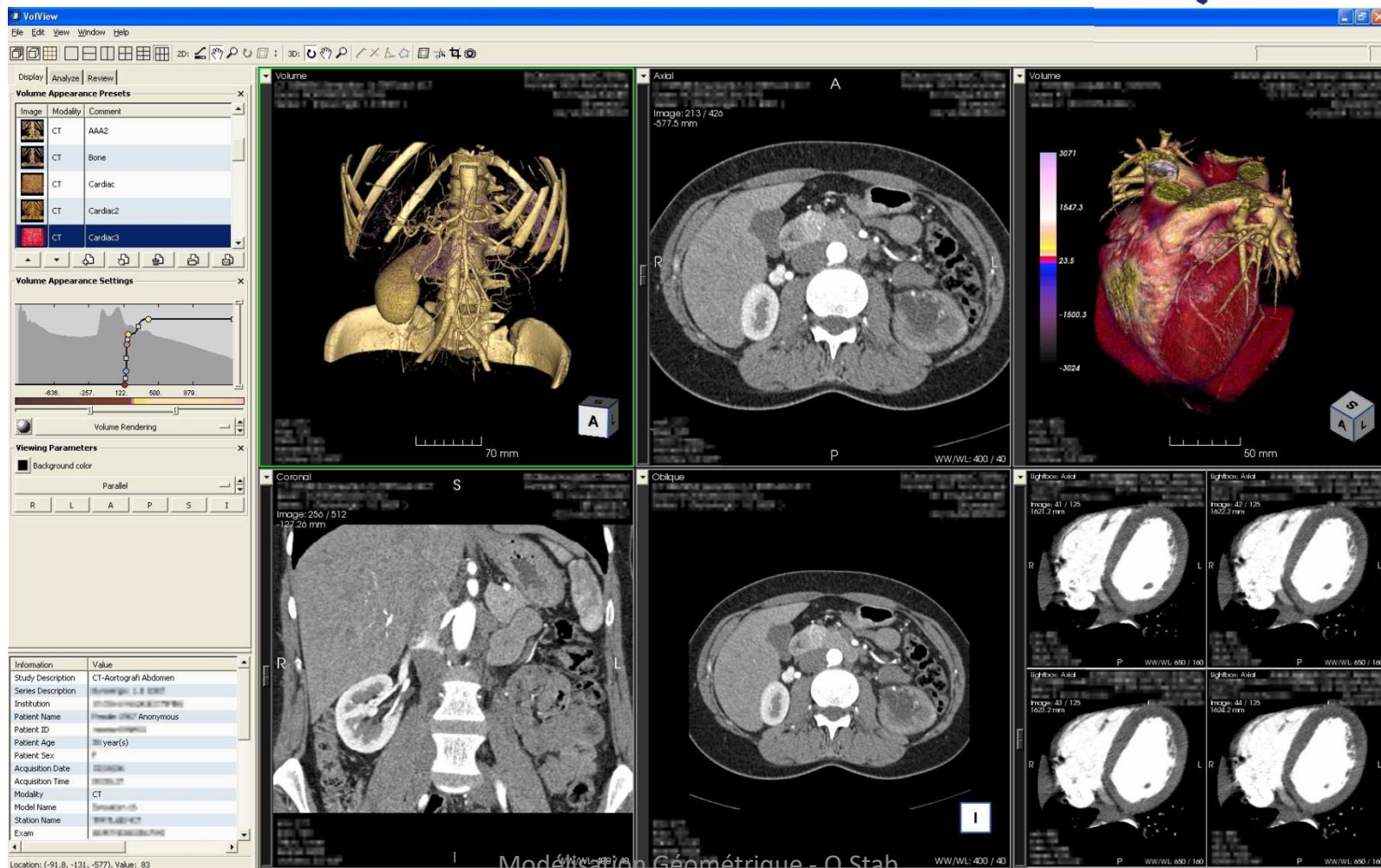
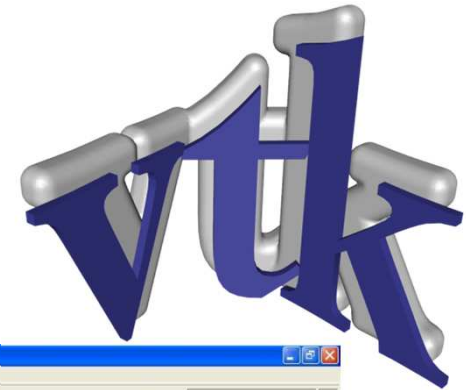


cuda, openCL

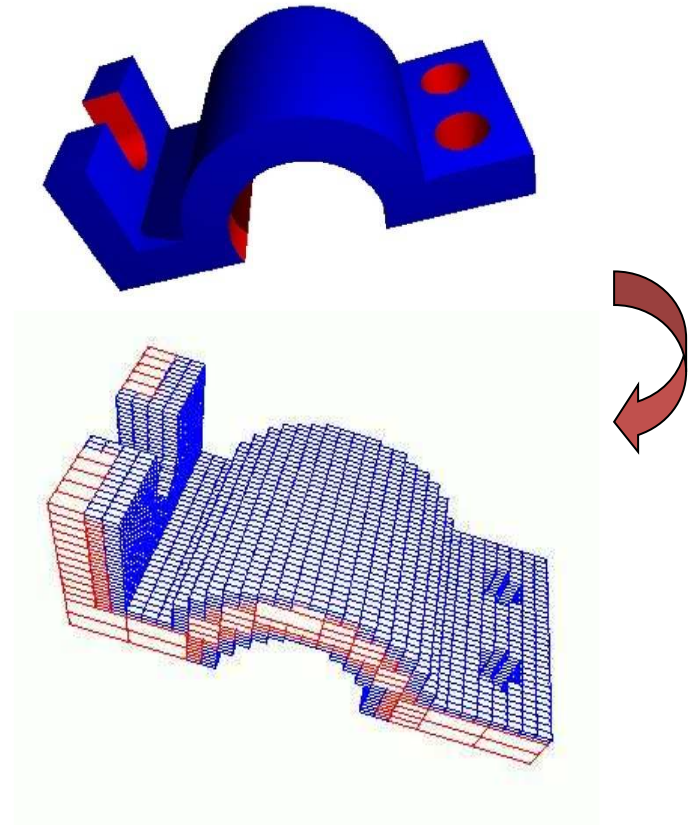


# The Visualization ToolKit

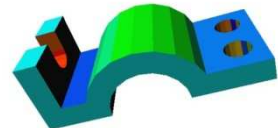
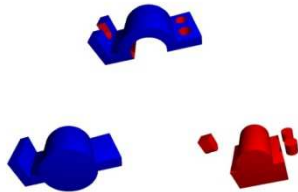
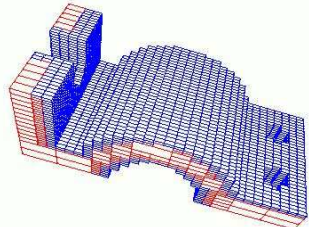
[www.vtk.org](http://www.vtk.org) VTK (C++) open source, BSD  
1993 Schroeder, Martin, Lorensen



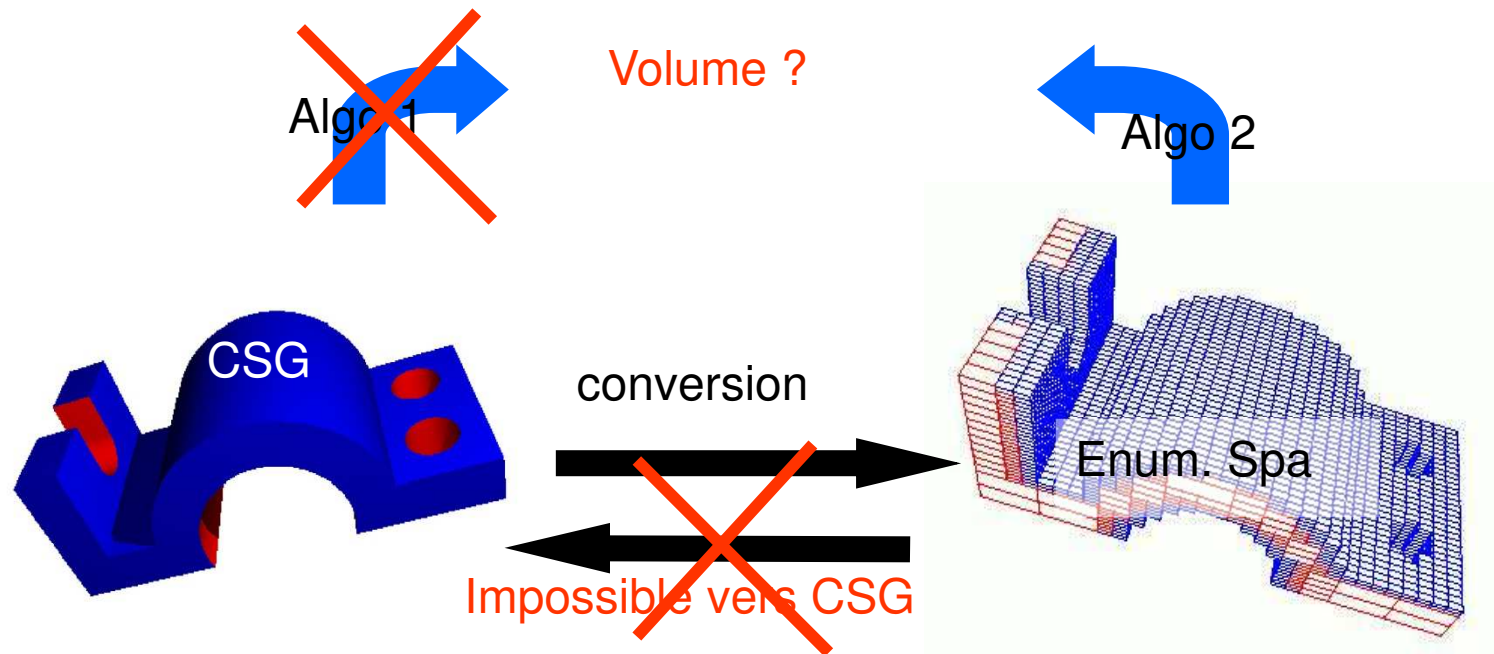
# Conversion et comparaison des modèles



# Comparaison des approches

	Domaine	Complétude	Interaction	Visual.
Brep	large	OK	difficile	
CSG	large	incomplet	naturelle	
Enum	large	précision	laborieuse	

# Conversion des modèles



Hierarchie : CSG > Brep > grille, octree...

# Algorithmes de conversion

## 1. Modèle d'énumération spatiale

1. à partir d'un autre modèle
2. à partir d'une Brep

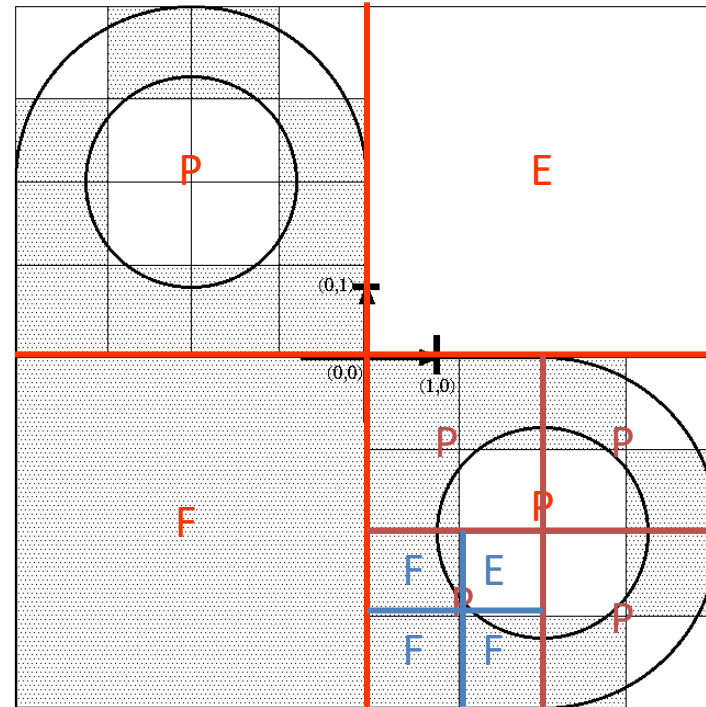
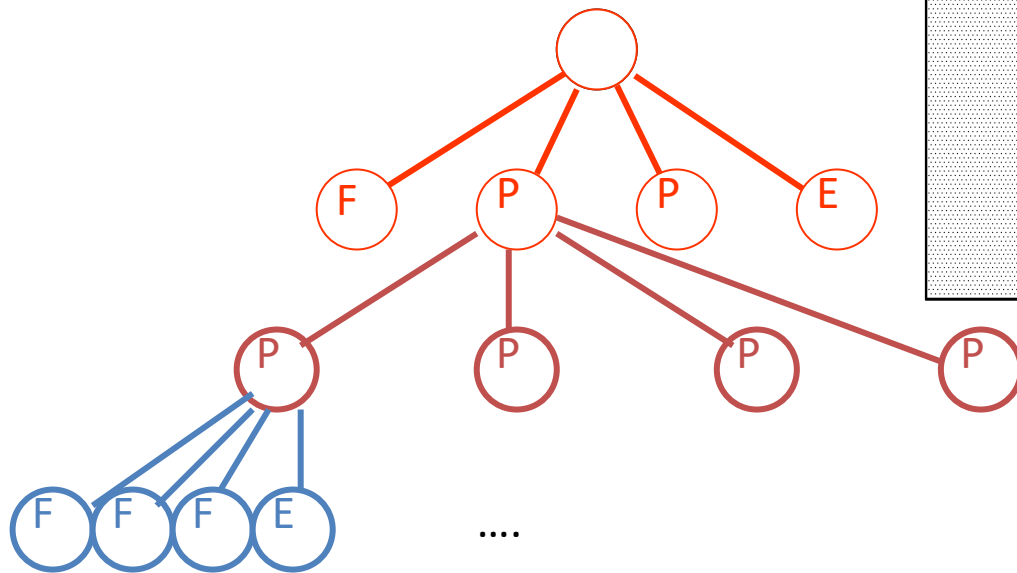
## 2. Représentation frontière

1. à partir d'un CSG
2. à partir d'une grille
3. À partir d'un « champ de scalaires »

# 1.1.Construction d'un Quadtree

Classification des cellules

- P : Partiel
- E : Empty
- F : Full

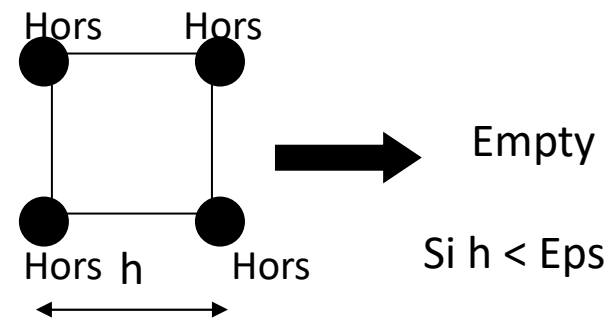
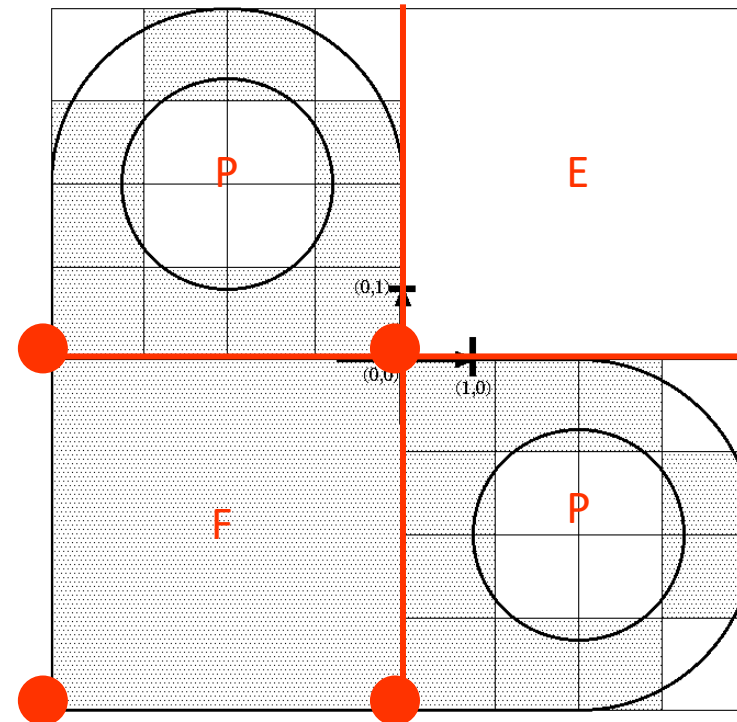
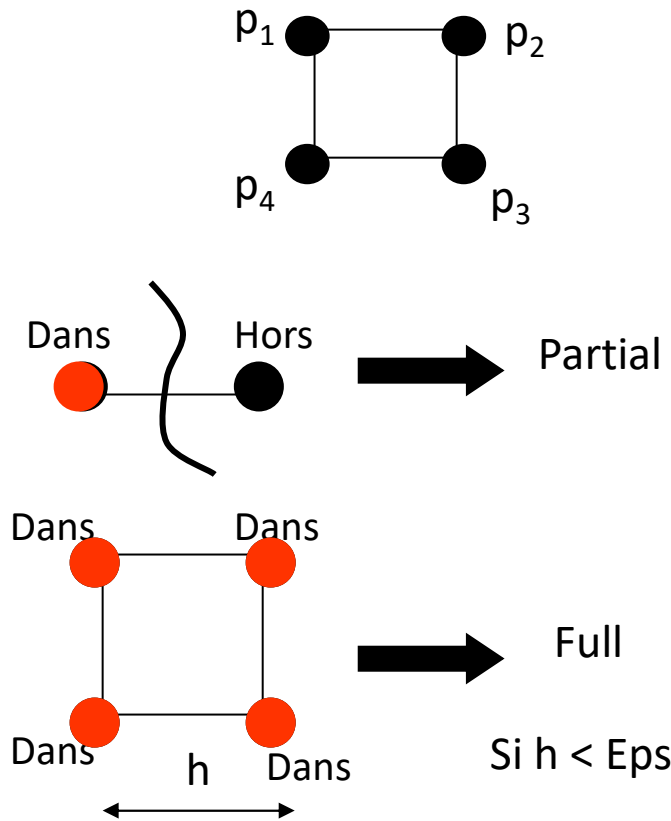


Quelque soit le modèle  $M$  on dispose de la fonction :  $PointDans(pt,M)$

# Classification des cellules

## Utilisation de PointDans(pt,M)

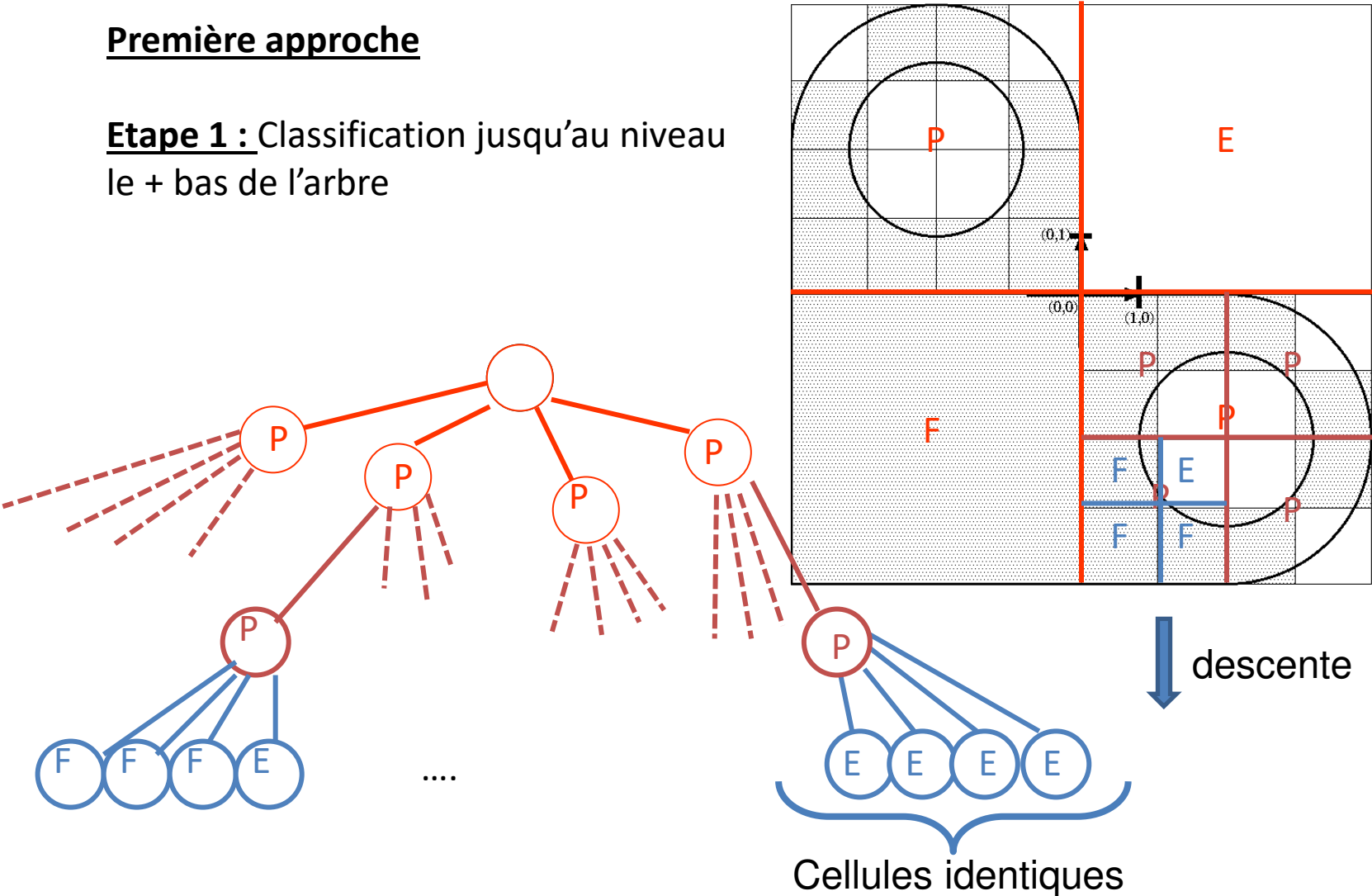
Localisation de points de la cellule :  
Dans, Hors



# Approche 1: Construction du Quadtree « complet »

Première approche

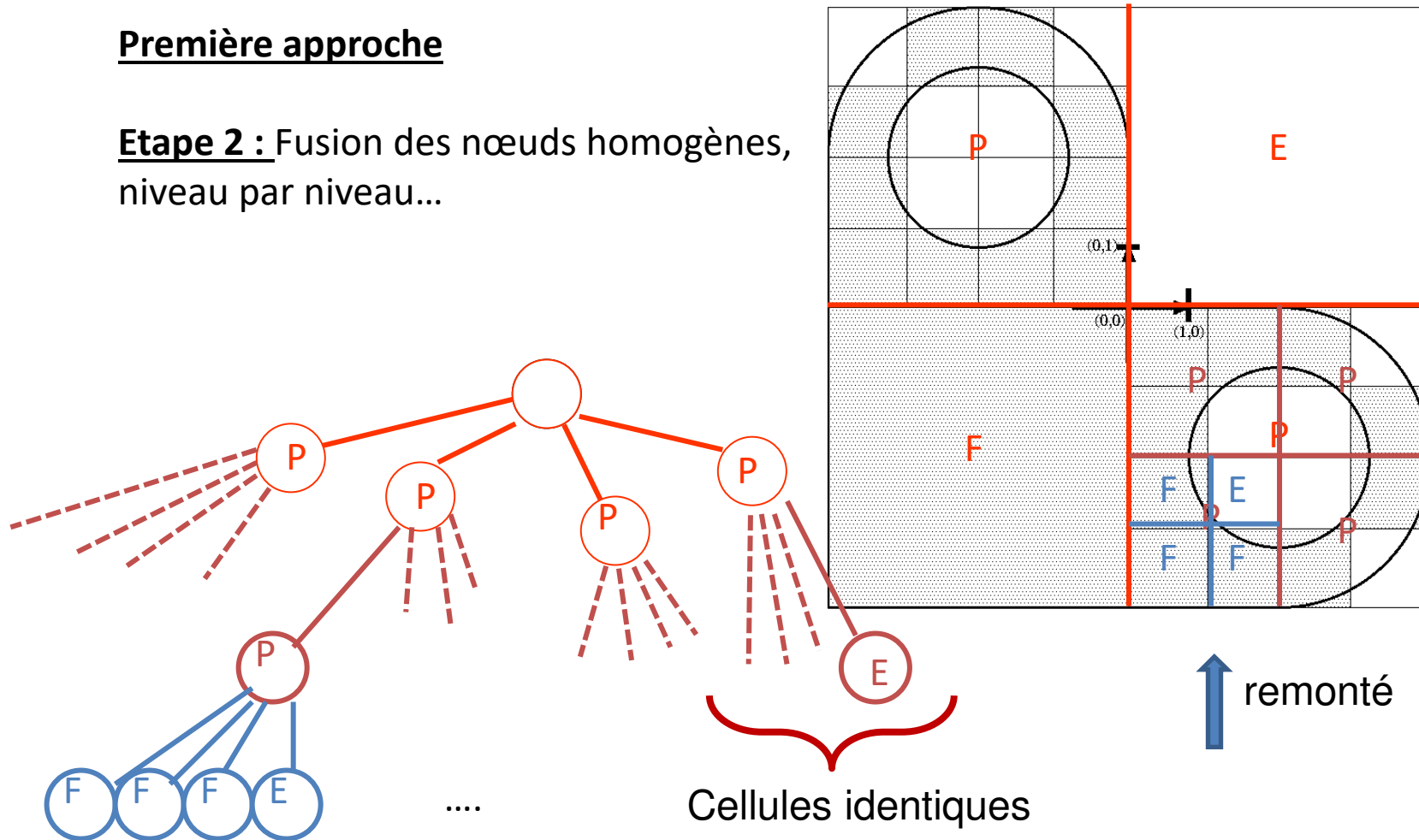
**Etape 1 :** Classification jusqu'au niveau le + bas de l'arbre



# Approche 1: Réduction du Quadtree

## Première approche

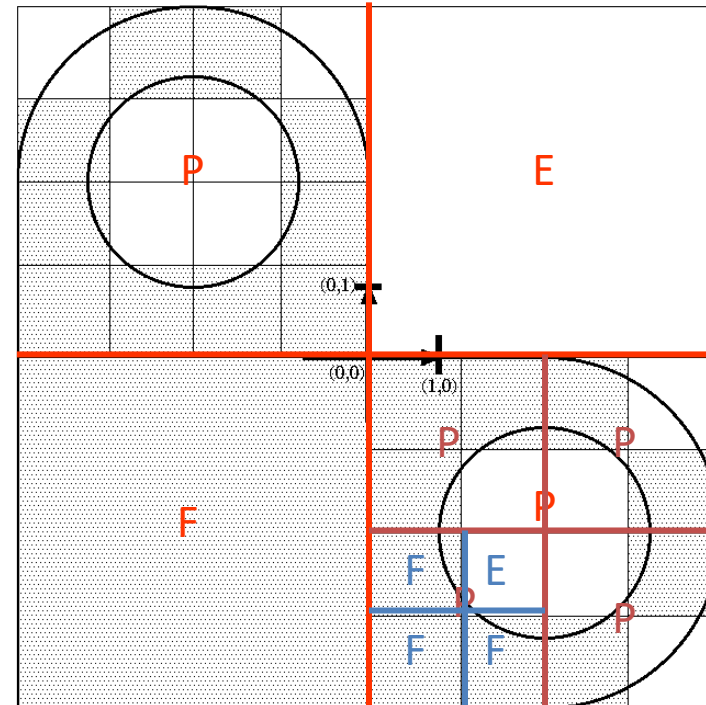
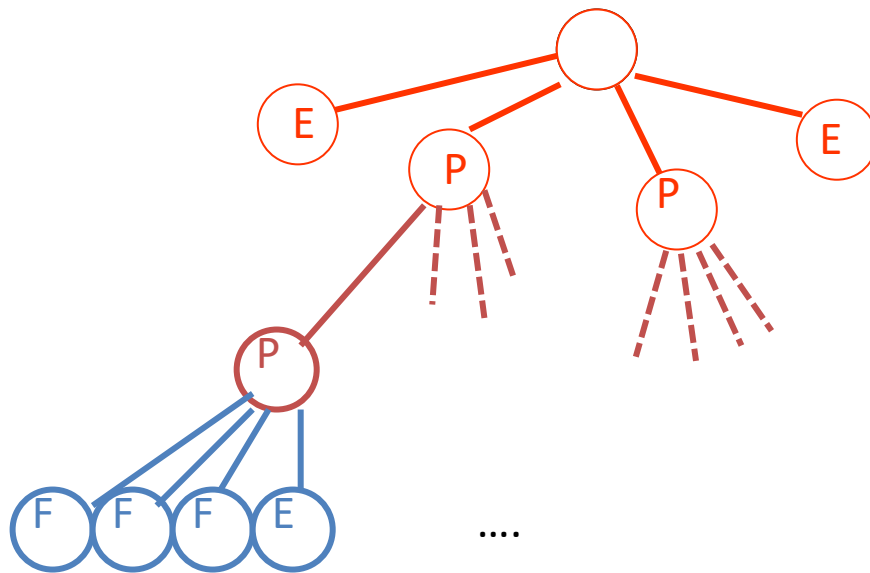
**Etape 2 :** Fusion des nœuds homogènes, niveau par niveau...



# Approche 1: Réduction du Quadtree

## Première approche

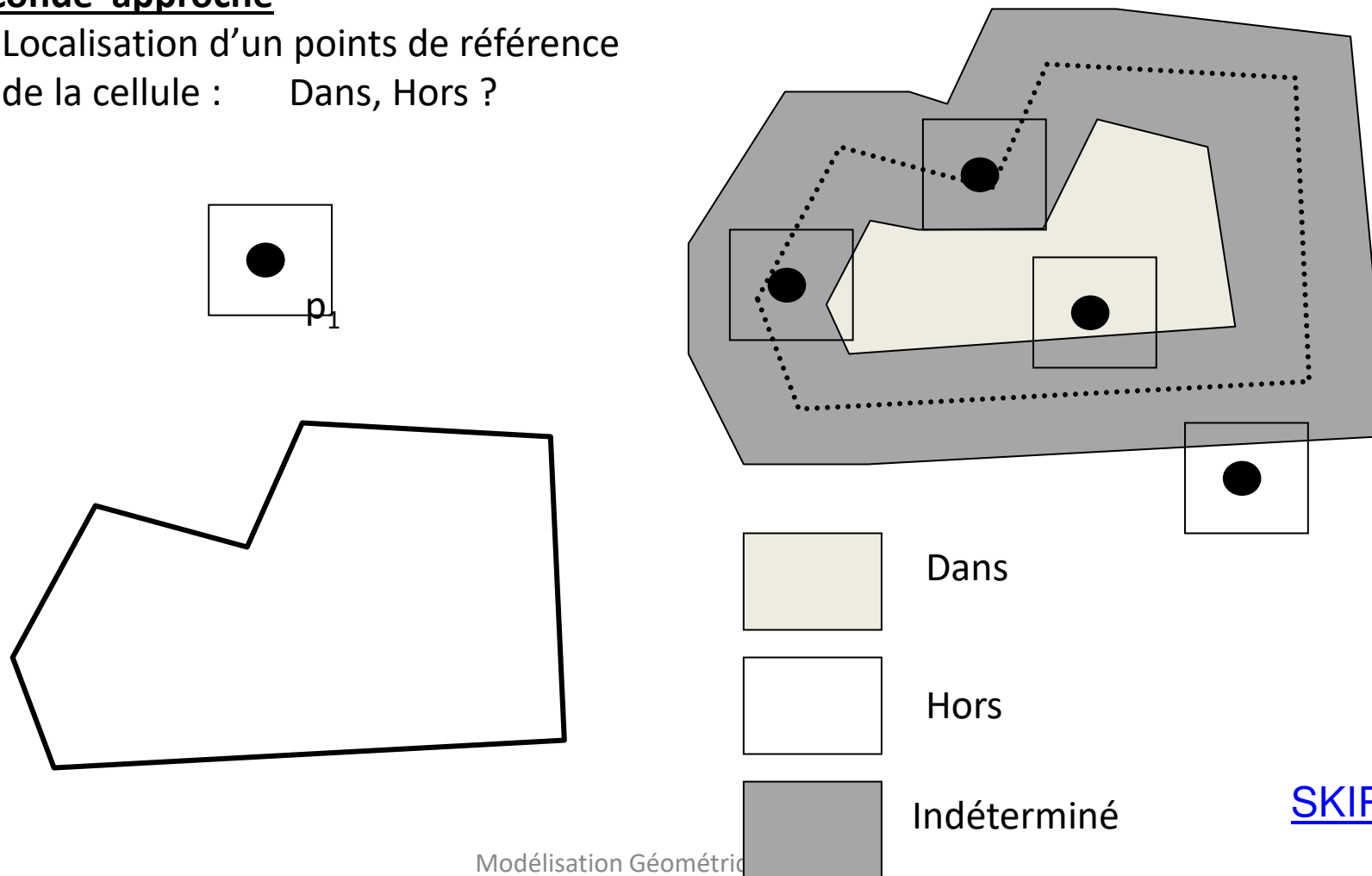
... Jusqu'à la fin.



# Approche 2 : Dilatation de la géométrie

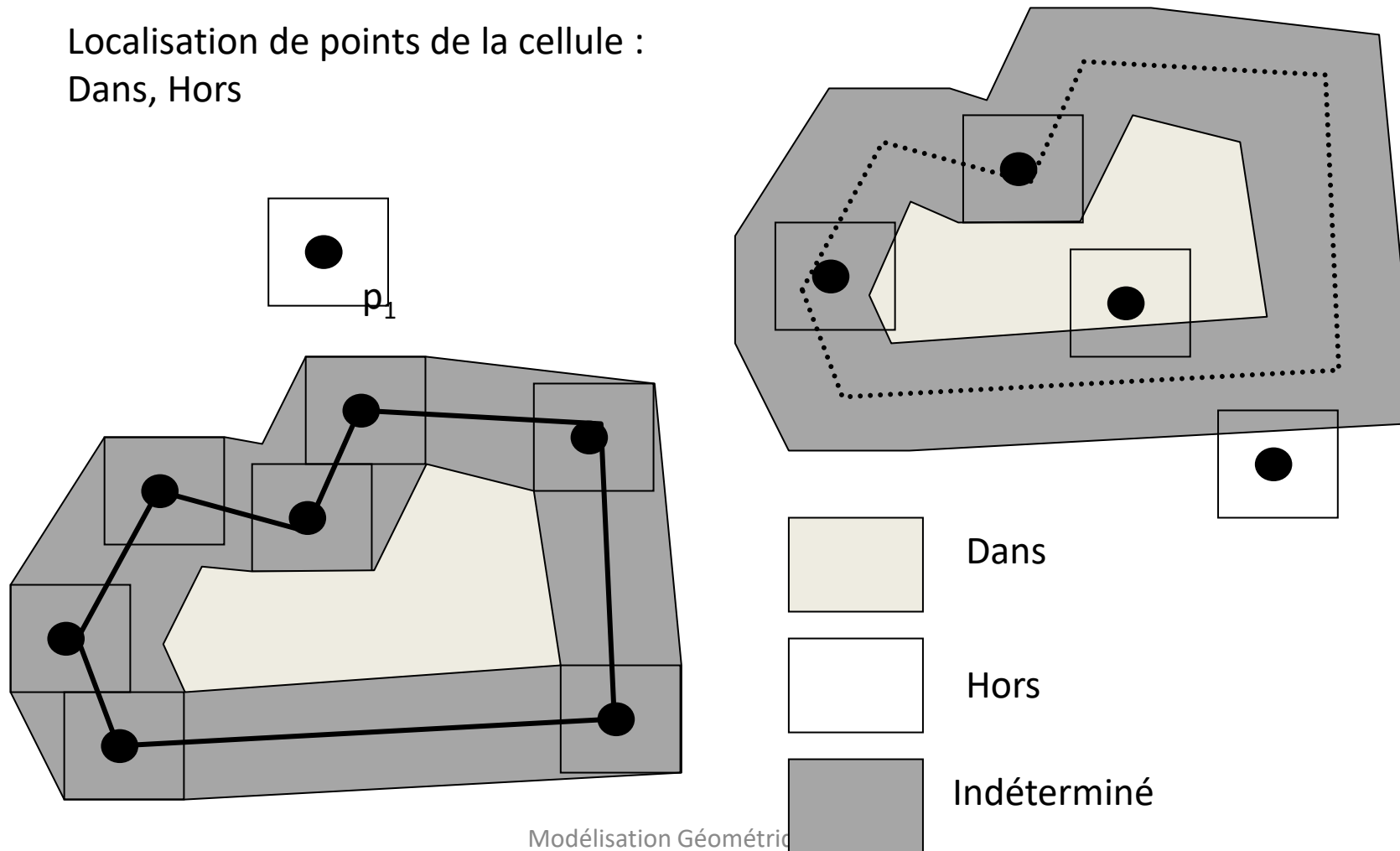
## Seconde approche

Localisation d'un points de référence  
de la cellule : Dans, Hors ?

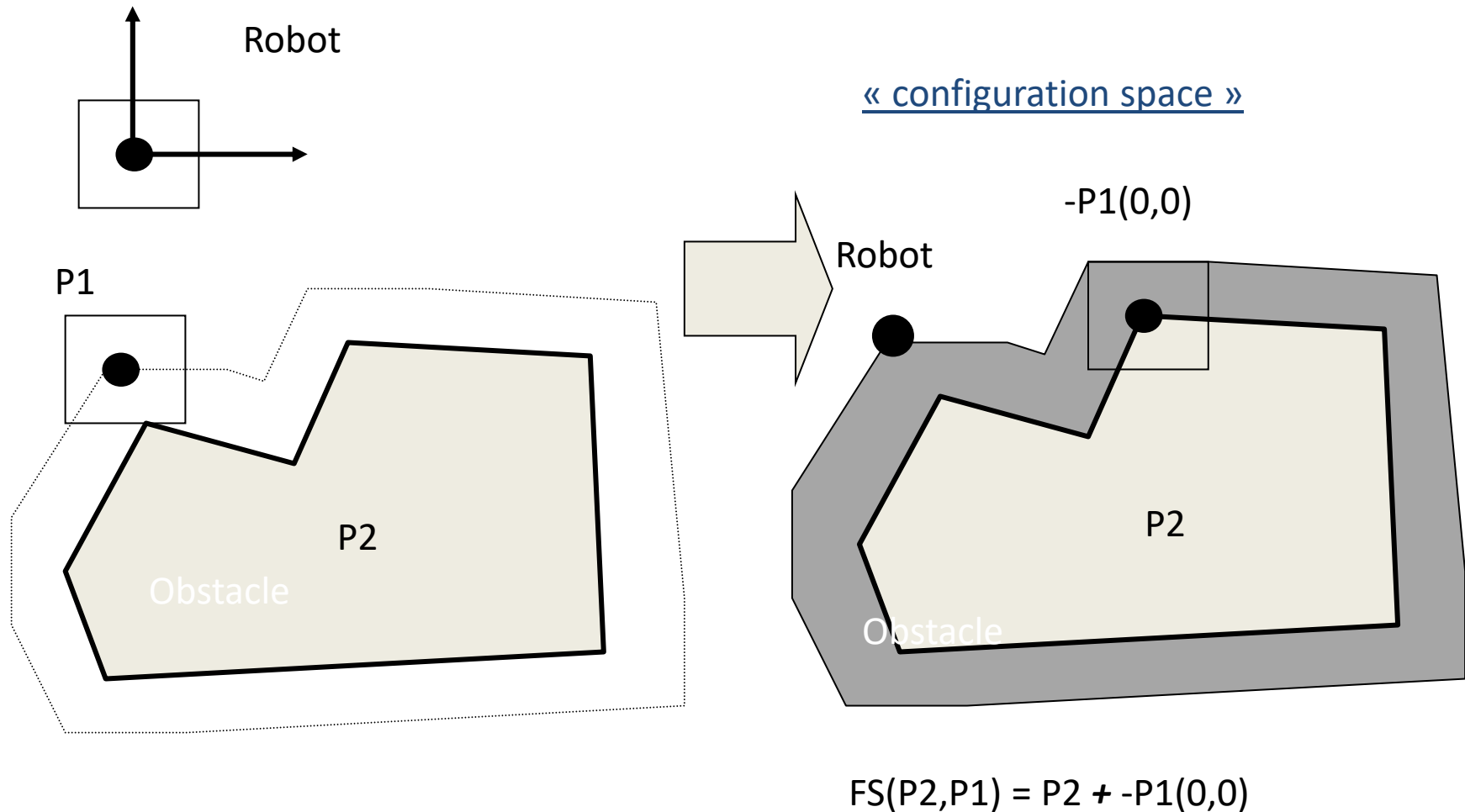


# Approche 2: Dilatation de la géométrie

Localisation de points de la cellule :  
Dans, Hors

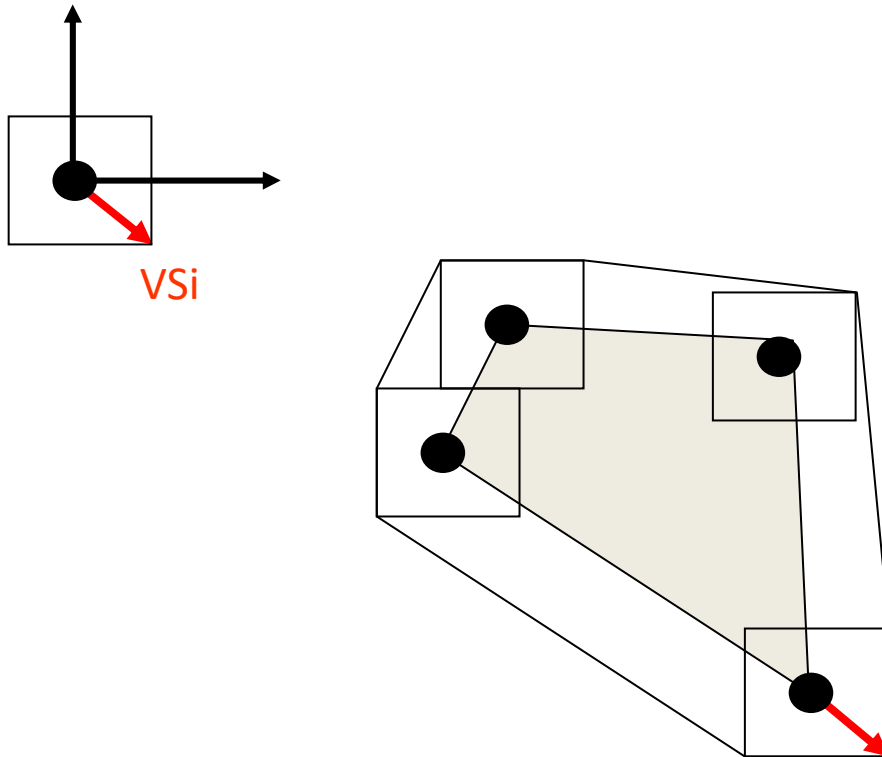


# Analogie : évitement d'obstacles



# Sommes de Minkowski

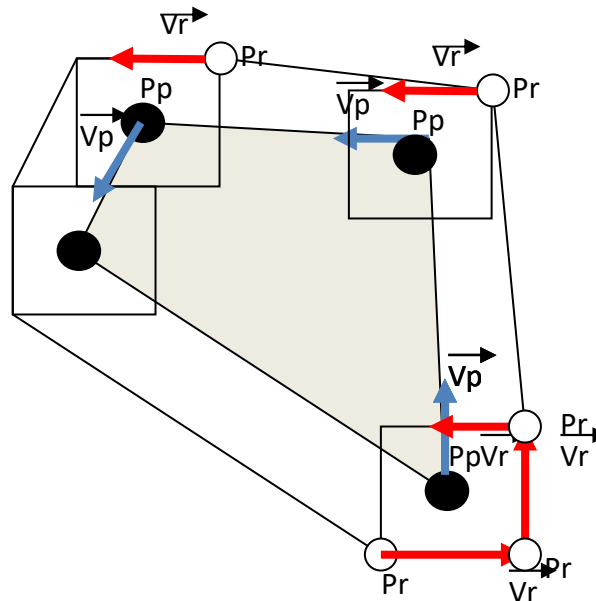
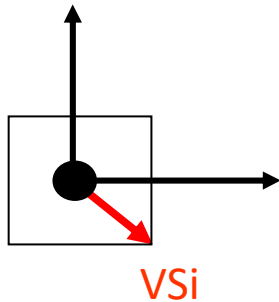
Polygones convexes



Les sommets de  $P_1+P_2 =$  sommets de  $P_2 + V_{Si}$

# Sommes de Minkowski

Polygones convexes



$$\vec{V}_r = Pr \text{ SUIV}[Pr]$$

$$\vec{V}_p = Pp \text{ SUIV}[Pp]$$

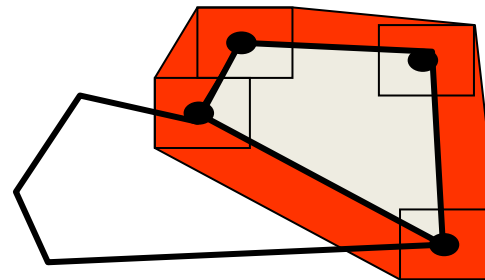
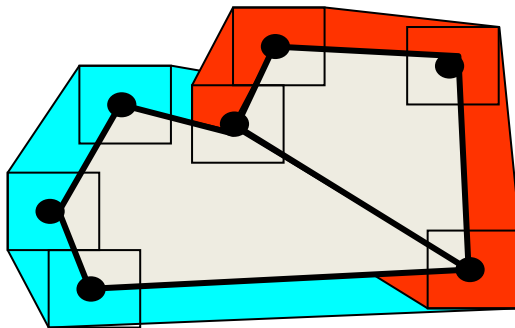
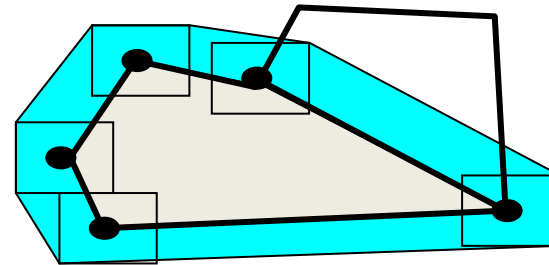
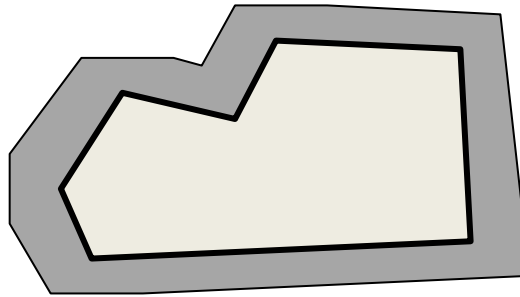
Si  $(PrV(\vec{V}_r, \vec{V}_p) > 0)$  Alors  
 $Pr = \text{SUIV}[Pr]$   
 $FS = FS \cup \{ Pp + Pr \}$

Sinon  
 $Pp = \text{SUIV}[Pp]$   
 $FS = FS \cup \{ Pp + Pr \}$

Les sommets du polygone  $P1+P2 =$  sommets de  $P2 + VSi$

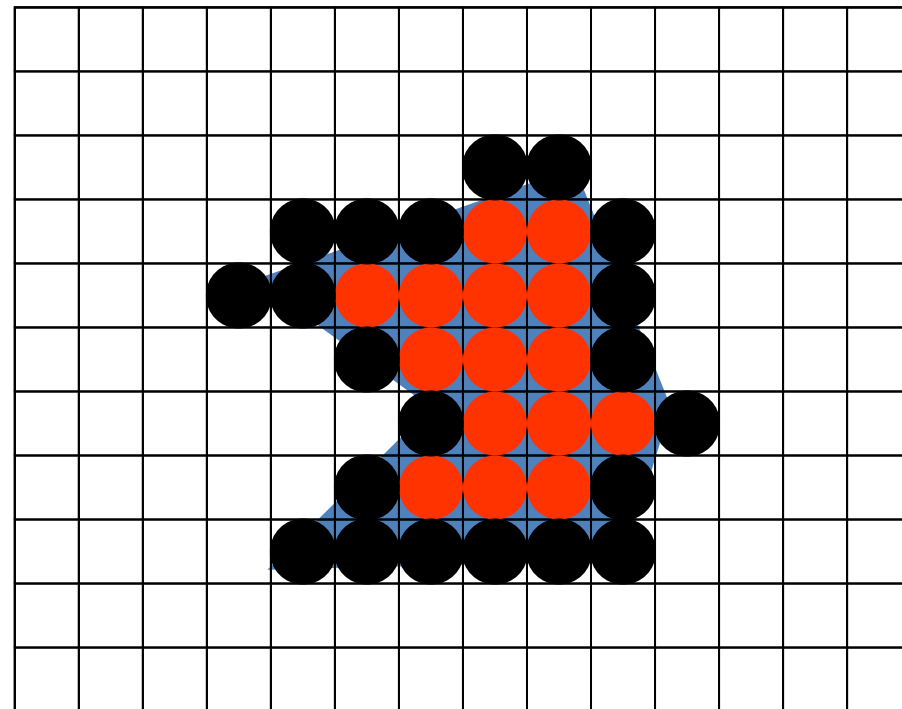
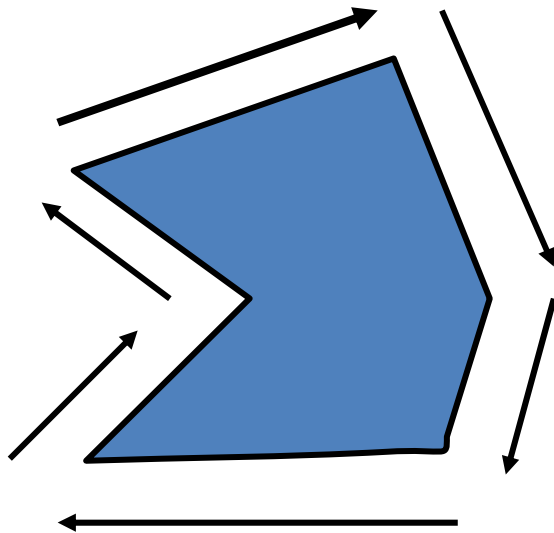
# Sommes de Minkowski

Polygones non convexes



## 1.2. Enumération à partir d'une Brep

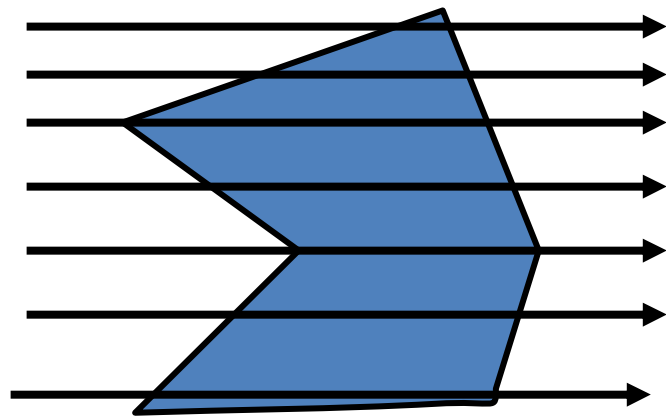
*Algorithme de tracé : mid-point algorithm*



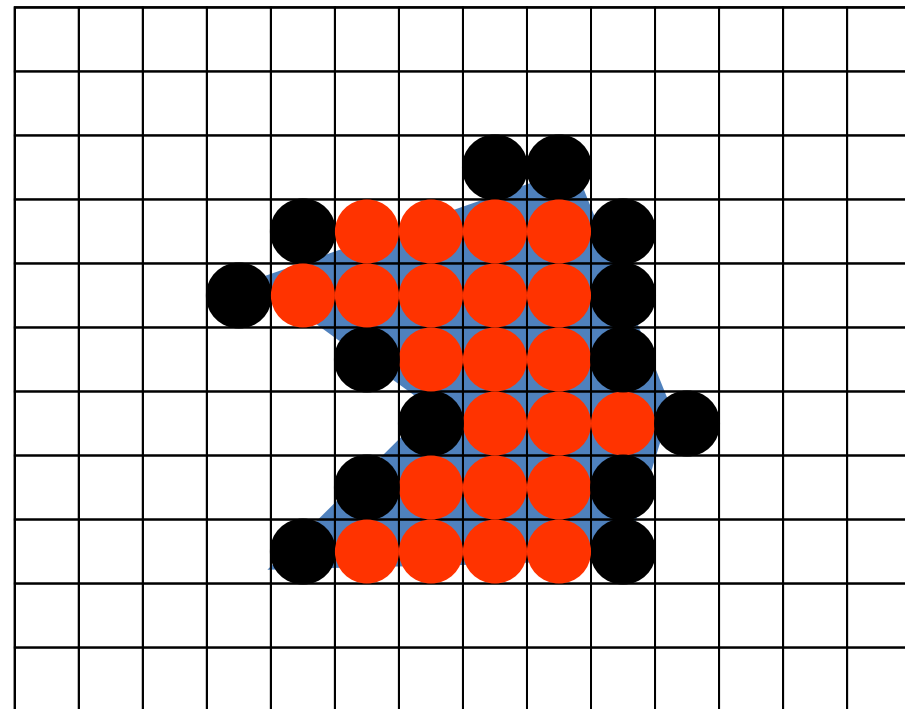
*Remplissage : voisinage 4-connectivité*

# Enumération à partir d'une Brep (2)

Scan-line Algorithm



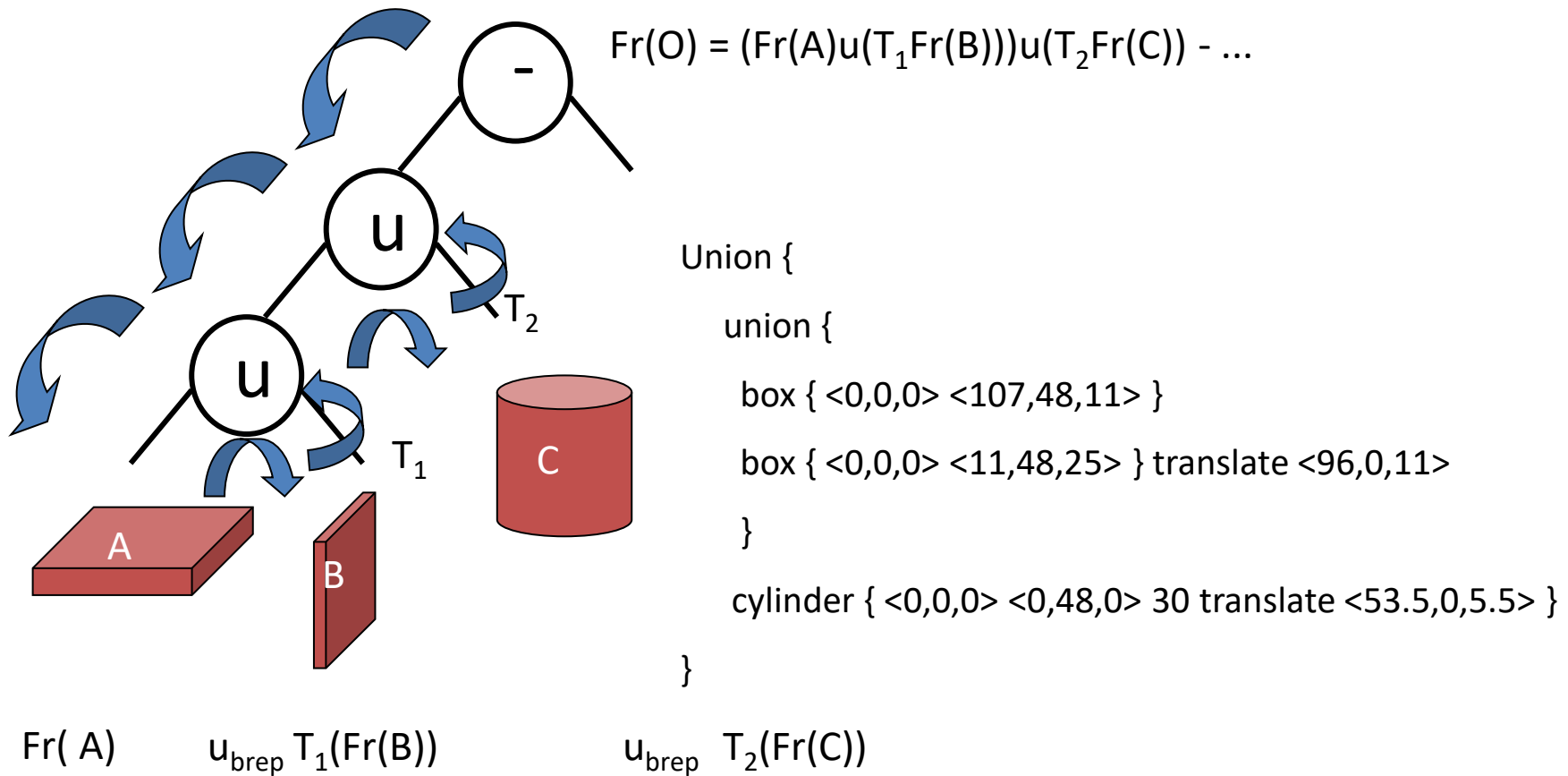
Edge coherence



# Algorithmes de conversion

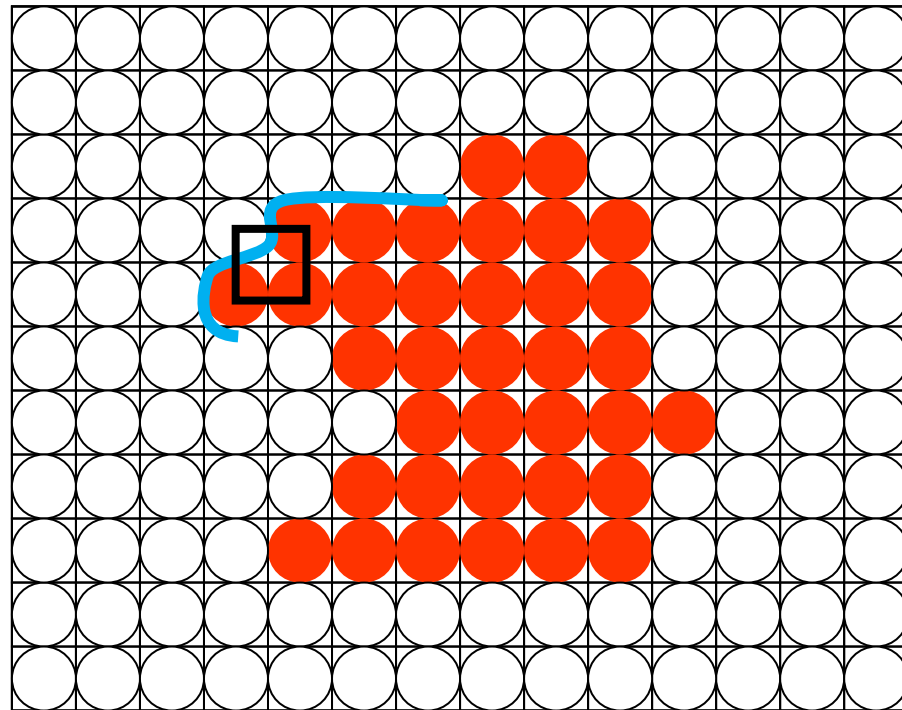
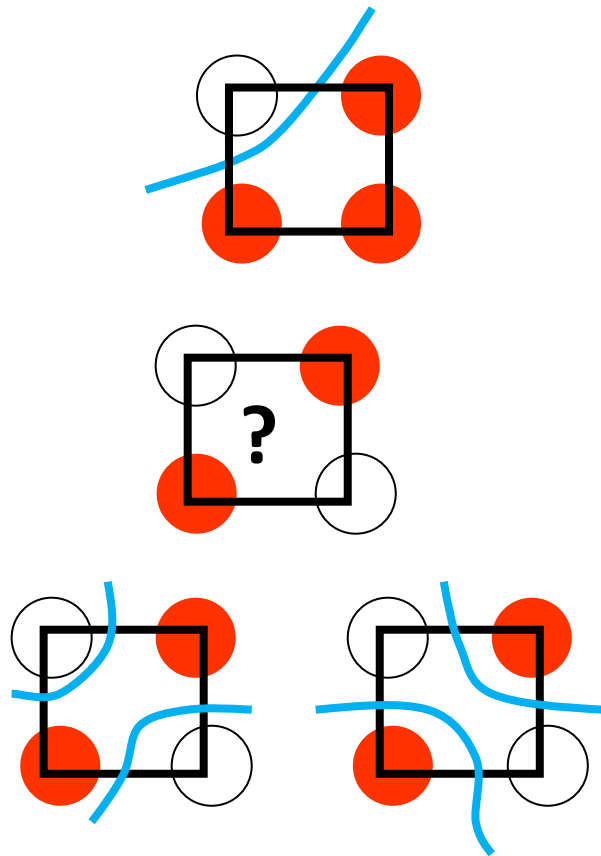
- Modèle d'énumération spatiale
  - à partir d'un autre modèle
  - à partir d'une Brep
- Représentation frontière
  - à partir d'un CSG
  - à partir d'une grille
  - À partir d'un « champ de scalaires »

## 2.1. Calcul de « la » Brep d'un CSG



## 2.2. Le Marching Cube (MC)

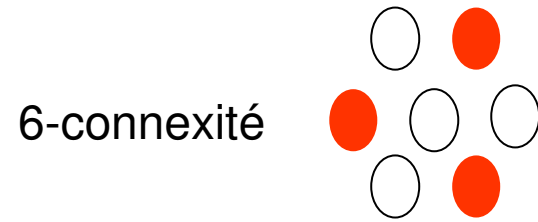
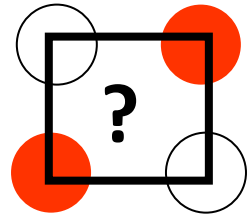
Extraction d'une Brep à partir d'une image (~ ligne iso-valeur)



3 « solutions » empiriques :

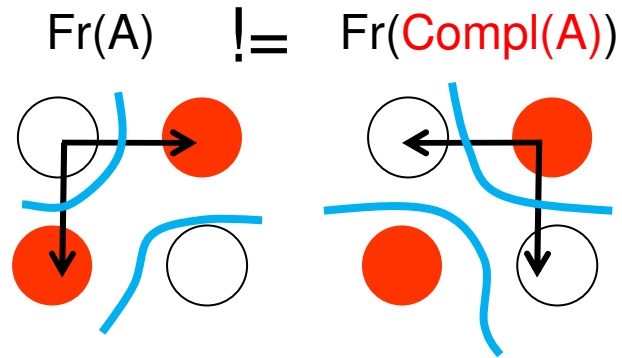
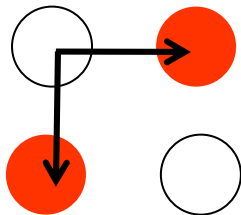
- Privilégier le vide ou le plein
- Limiter la courbure → analyse cellules voisines
- Accéder aux valeurs non seuillées

# Un problème topologique

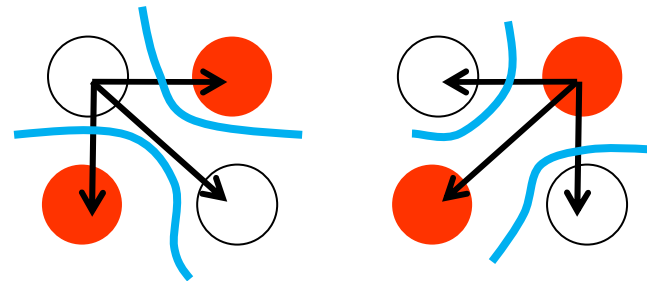
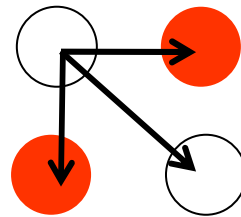


Voisinage :

– 4-connexité

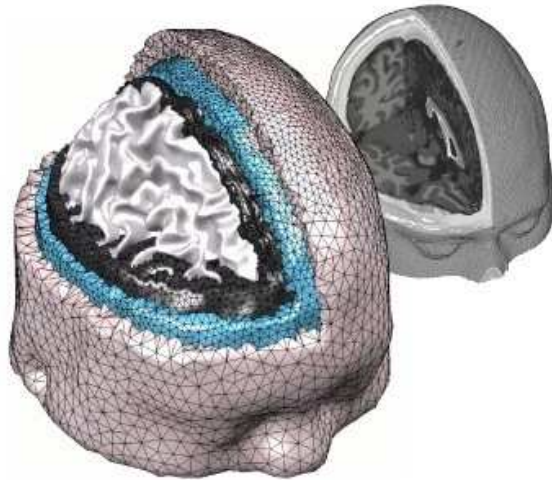
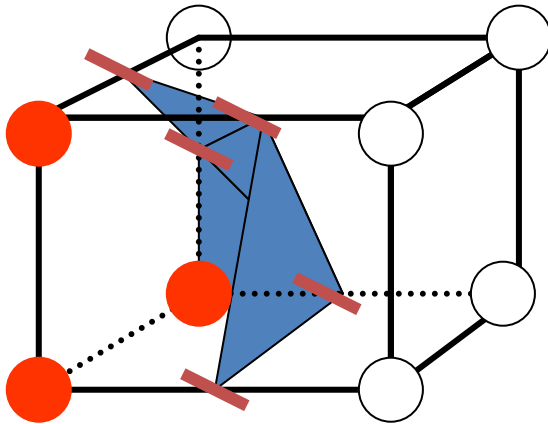


– 8-connexité



# Le Marching Cube (MC)

Extraction d'une Brep à partir d'un voxel (ou d'une série d'images)



---

Symmetry exploited

---

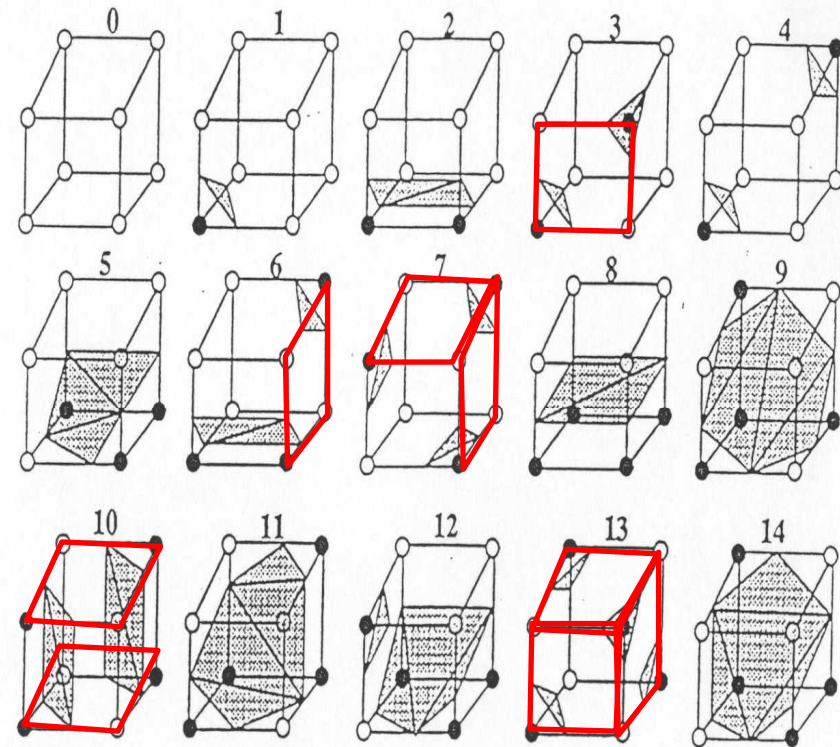
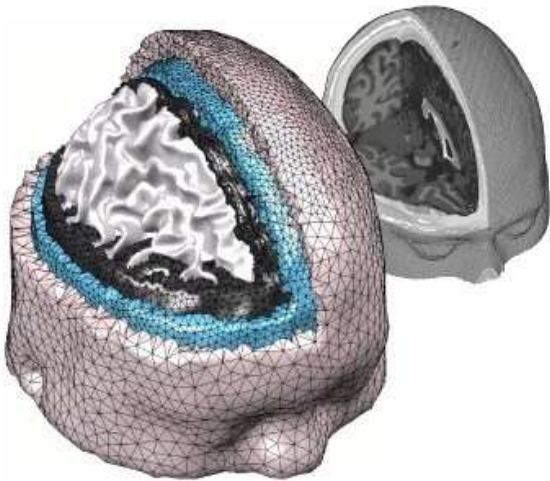
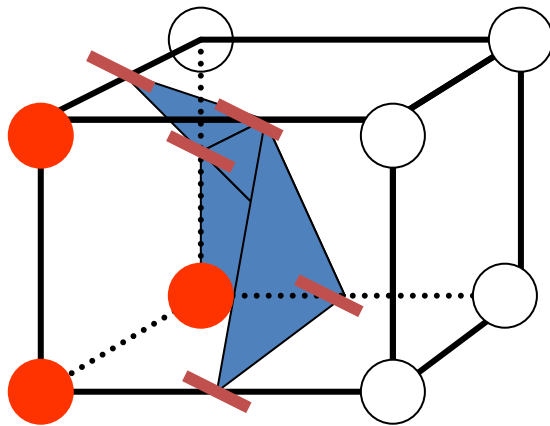
None	$2^8 = 256$
Reflection	128
Rotation	23
Rotation + mirror	22
Rotation + reflection	15
Rotation + reflection + mirror	14

---

Marching cubes algorithms  
Lorenson & Cline 1987

# Le Marching Cube (MC)

Extraction d'une Brep à partir d'un voxel (ou d'une série d'images)



Marching cubes algorithms  
Lorenson & Cline 1987

# Marching Cube (MC)

A survey of marching cubes algorithms

T.S. Newman & H. Yi Computers & Graphics 30 (2006) 854-879

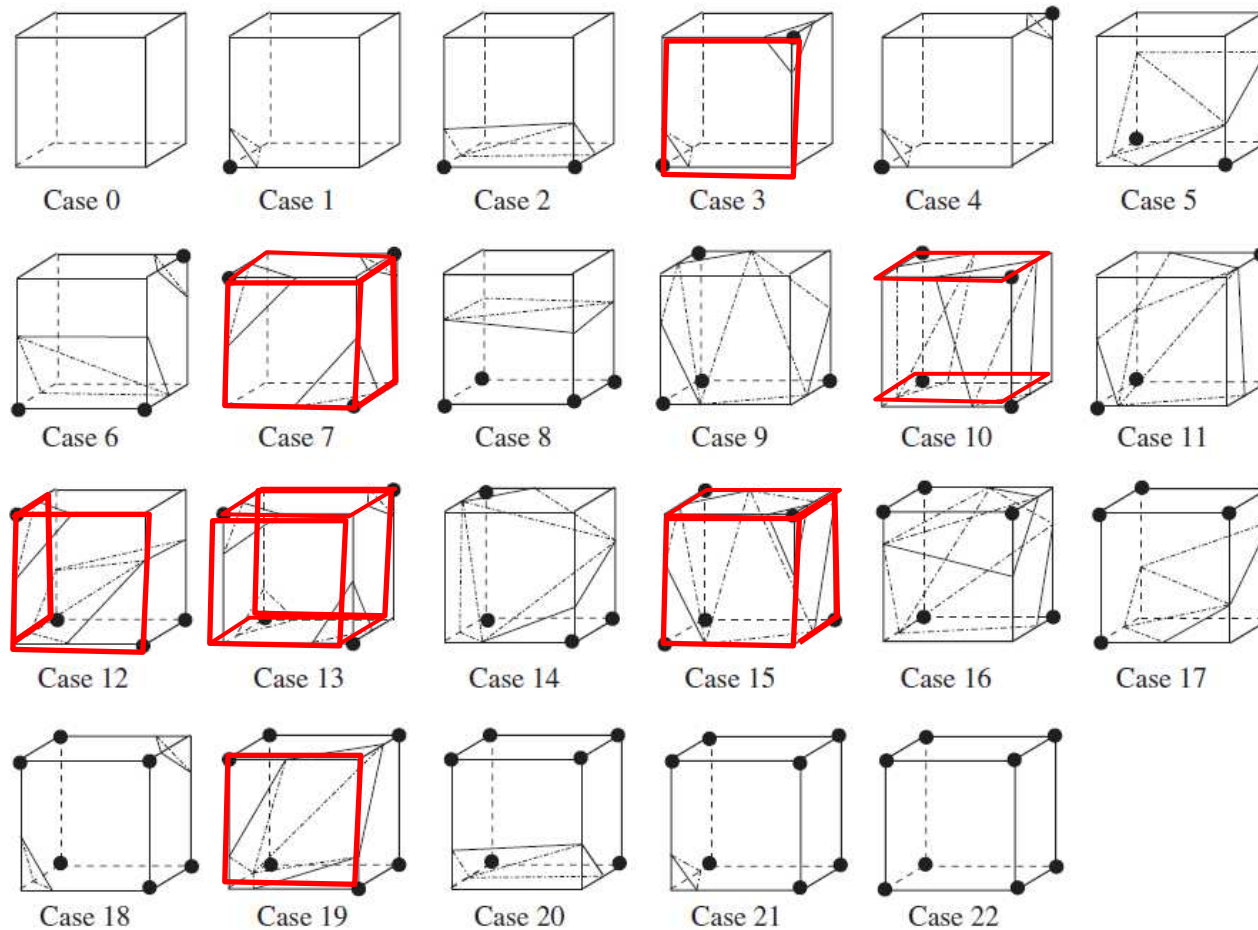
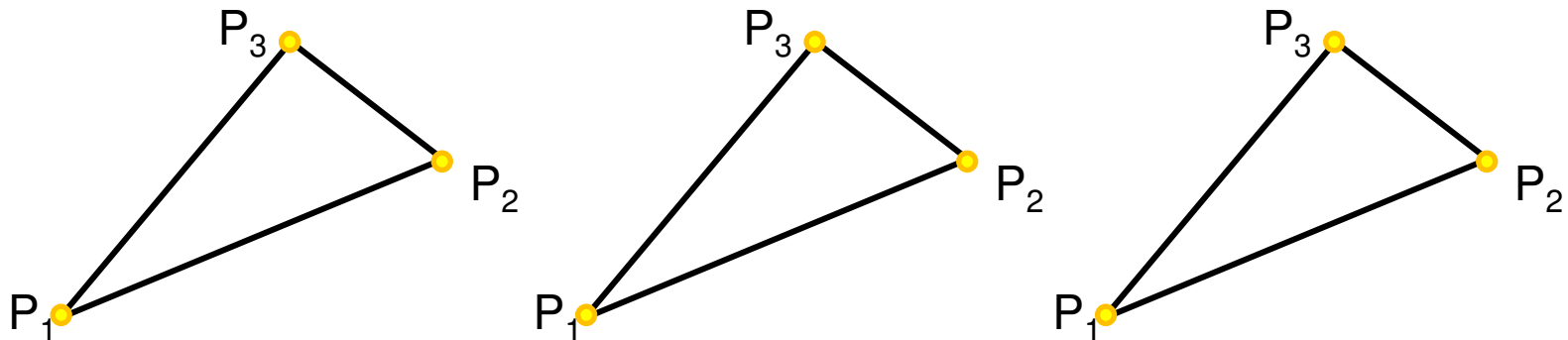


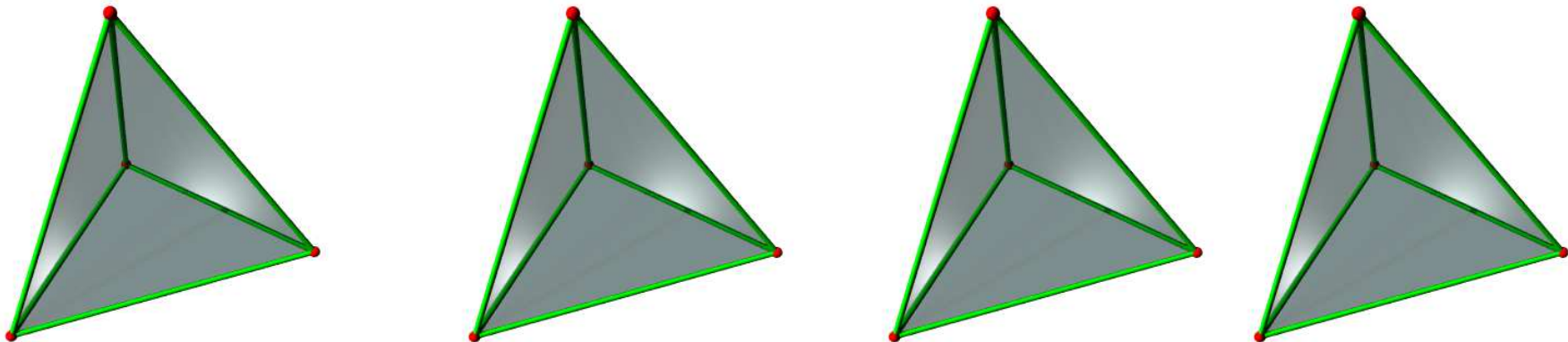
Fig. 6. The 23 intersection topologies (using the numbering of [27–29]) that result when only rotation is exploited.

# Exercice : Marching Tetrahedra

- Extraction d'une iso-courbe sur une triangulation

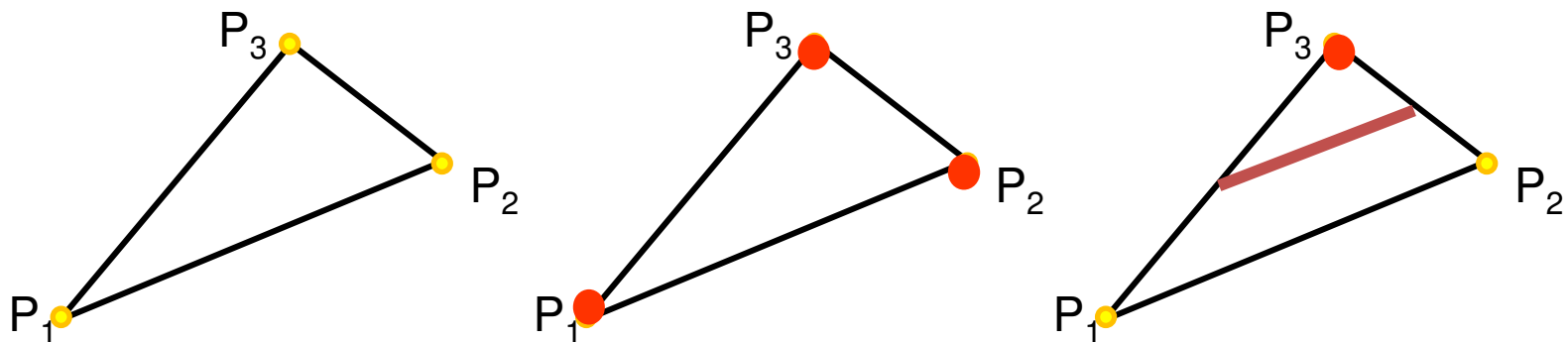


- Extraction d'une iso-surface dans une tétraédrisation

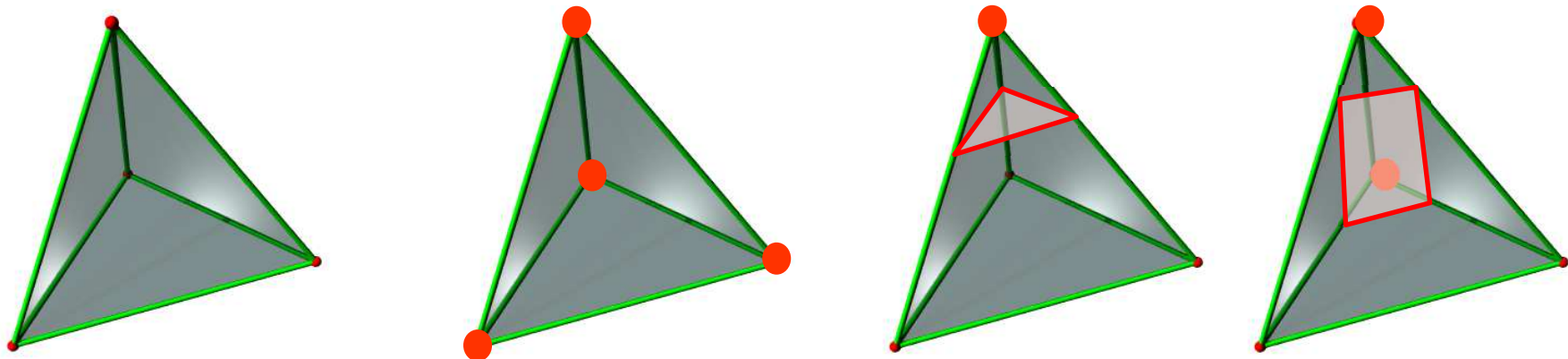


# Exercice : Marching Tetrahedra

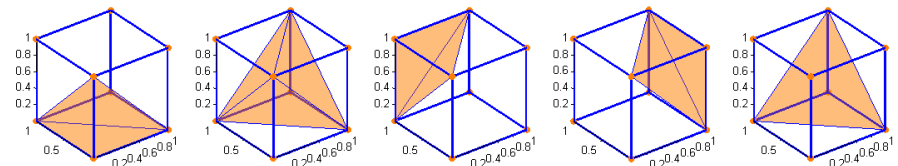
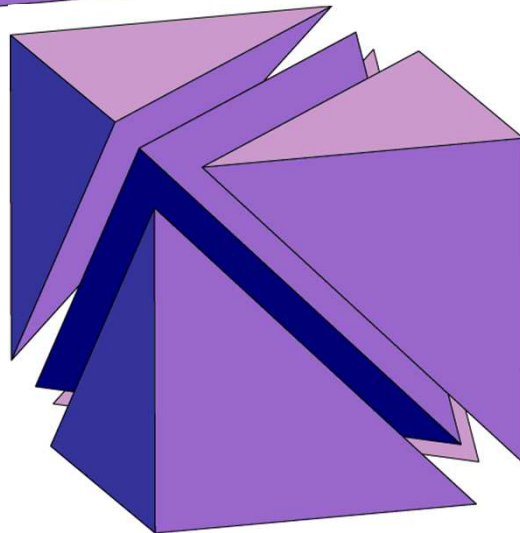
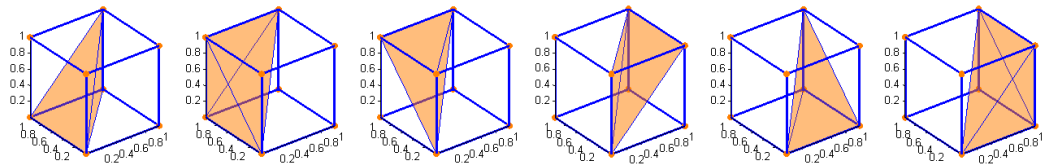
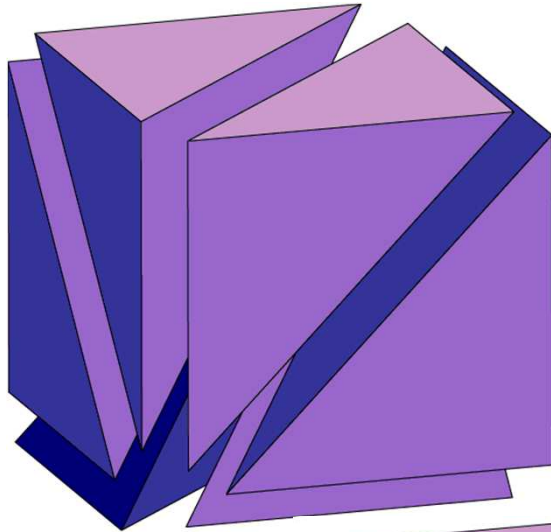
- Extraction d'une iso-courbe sur une triangulation



- Extraction d'une iso-surface dans une tétraédrisation



# Un cube = 5 ou 6 tétraèdres



# Pour aller plus loin

- CODING ADVENTURE/Marching cubes :  
<https://www.youtube.com/watch?v=M3il2l0ltbE>
- GPU
  - sur UNREAL Engine 5
  - Sur UNITY :  
<https://www.youtube.com/watch?v=vognQ2v9Oxw>
  - En Cuda.



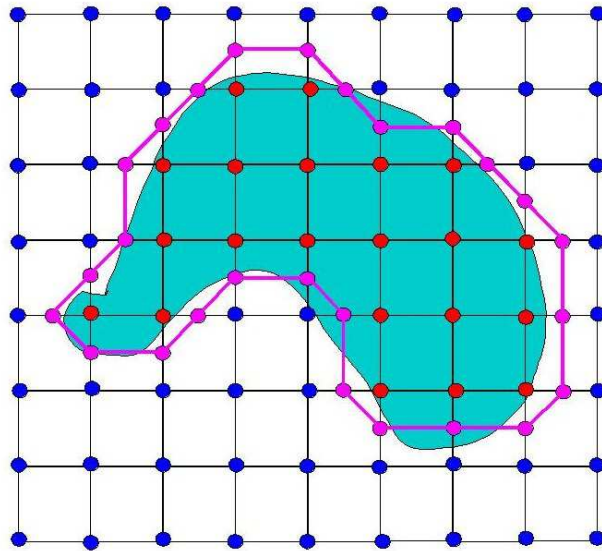
## 2.3. Conversion : $F(x,y,z) \rightarrow \text{Brep}$

Quand il n'existe pas une représentation paramétrique de la frontière de  $F(x,y)$  alors le cas devient complexe...

$f\_noise3d(x^2, y^2, z^2) - 0.3$   
 $contained\_by\{box\{-2,2\}\}$

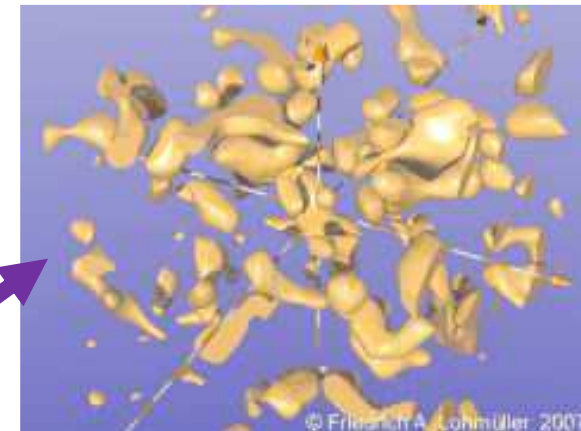
$F(x,y,z) = 0 \rightarrow ?$

Enumération



?

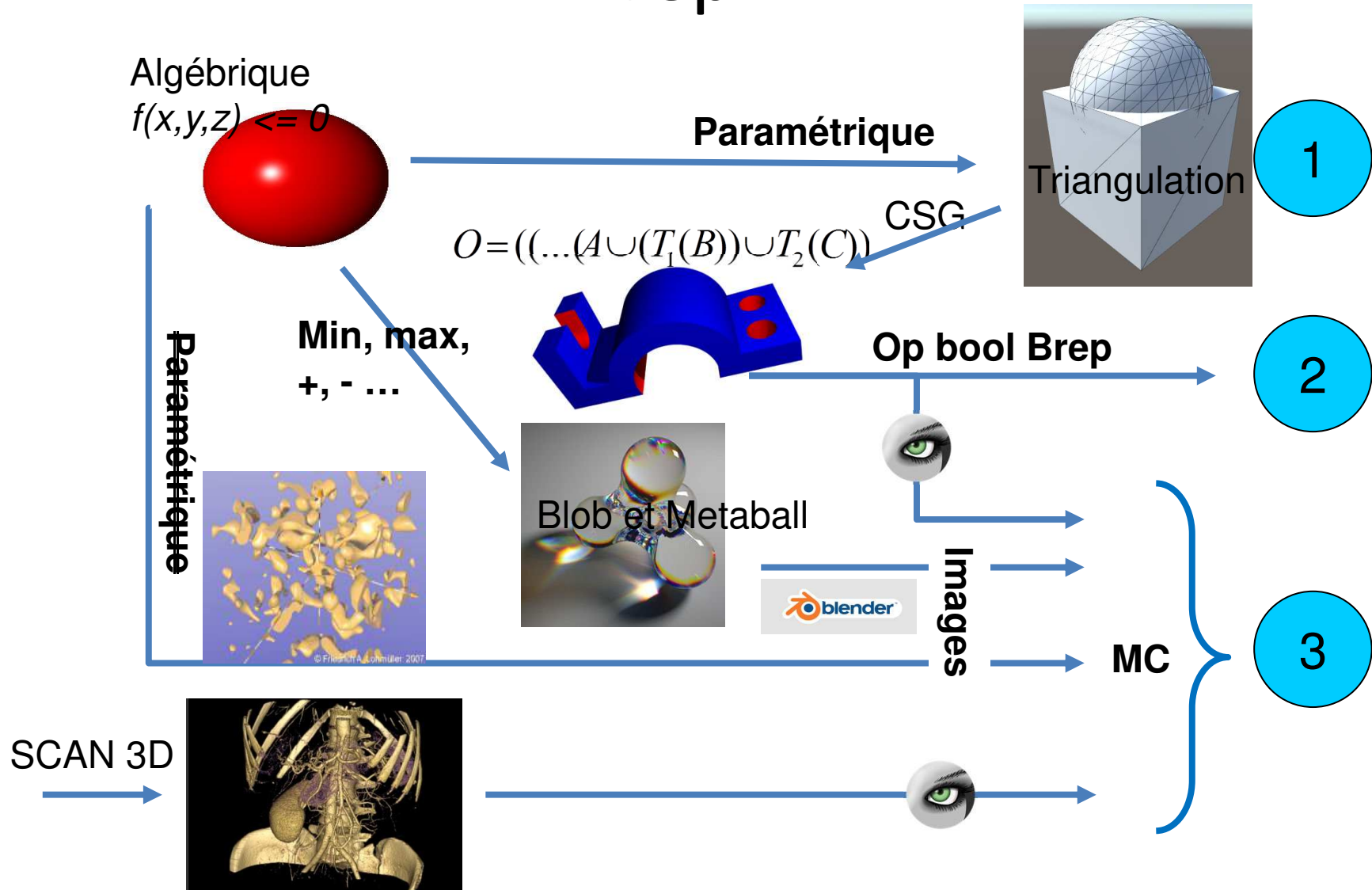
Brep : Polygones  
(ou polyèdres en 3D)



Brep

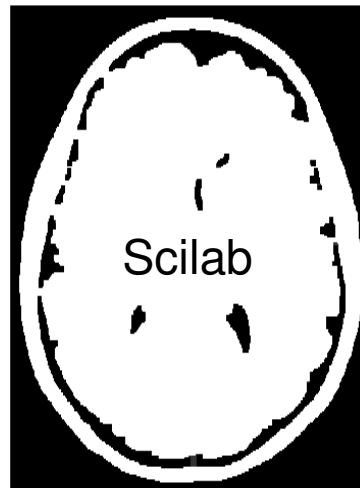
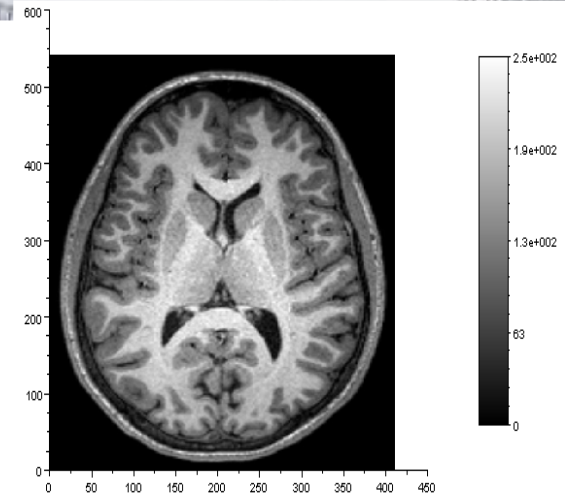
# Algorithmes de conversion

## → Brep

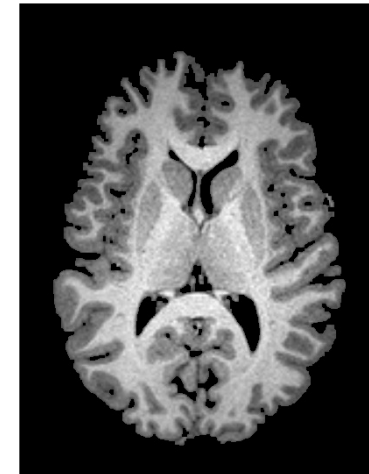
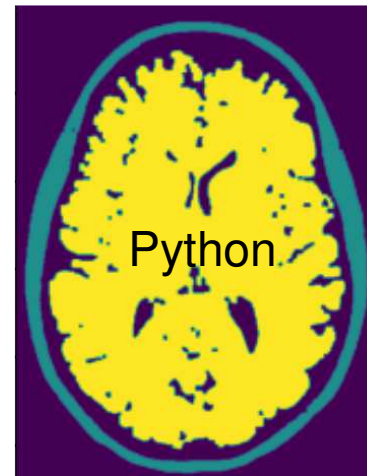


# TP n°6 : Imagerie

- Passage XY  $\leftarrow$  I,J
- Seuillage
- Erosion + dilatation
- Extraction des CC ...



ou

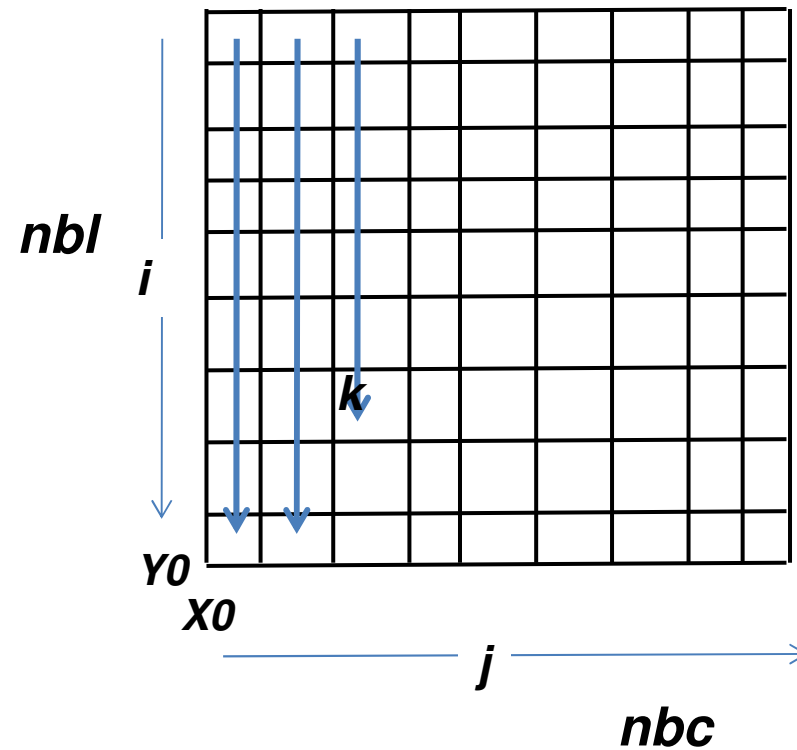


# Grille = matrice dans Scilab

$$M = \begin{pmatrix} a1 & a4 & a7 \\ a2 & a5 & a8 \\ a3 & a6 & a9 \end{pmatrix}$$

$$k = i + j * (nbl) ;$$

$$M(i,j) == M(k)$$



# Voisinage et adressage

$$M = \begin{pmatrix} a1 & a4 & a7 \\ a2 & a5 & a8 \\ a3 & a6 & a9 \end{pmatrix}$$

Voisinage en 8-connexité

// Le voisinage de la cellule 5,8

Dij=[-1,0,1]

G2D(5+Dij,8+Dij)

Di=[-1,-1,-1; 0,0,0; 1,1,1]

Dj=[-1, 0, 1;-1,0,1;-1,0,1]

K=Di+5+(nbl)\*(8-1+Dj)

G2D(K)

$$M = \begin{pmatrix} a1 & a4 & a7 \\ a2 & a5 & a8 \\ a3 & a6 & a9 \end{pmatrix}$$

Voisinage en 4-connexité

exercice

# TP n°6 : imagerie



- Installer les packages et importer (import cv2)

The screenshot shows the Anaconda Navigator interface. The left sidebar contains navigation options: Home, Environments, Learning, and Community. The main area displays the 'base (root)' environment. A search bar at the top of the main area contains 'opencv'. Below the search bar, a table lists available packages. The 'Installed' filter is selected, and the search results show three packages: libopencv, opencv, and py-opencv, all with version 4.0. The 'opencv' package is highlighted with a red box. The 'Import' button is also highlighted with a red box. The bottom of the interface shows a status bar indicating '3 packages available matching "opencv"'. The top of the window shows the Anaconda Navigator logo, 'Upgrade Now' button, and 'Sign in' button.

Name	T	Description	Version
<input checked="" type="checkbox"/> libopencv	○		4.0.
<input checked="" type="checkbox"/> opencv	○		4.0.
<input checked="" type="checkbox"/> py-opencv	○		4.0.

# TP n°6 : imagerie



```
img = cv2.imread(« file.jpg »,cv2.IMREAD_GRAYSCALE)
```

```
plt.imshow(img)
```

```
ret,img_thresh1 = cv2.threshold(img,threshold,...)
```

```
image_erosion = cv2.erode(img_thresh1,kernel_H,iterations = 2)
```

```
image_dilation = cv2.dilate(image_erosion,kernel_H,iterations = 3)
```

```
ret, markers = cv2.connectedComponents(image_erosion)
```